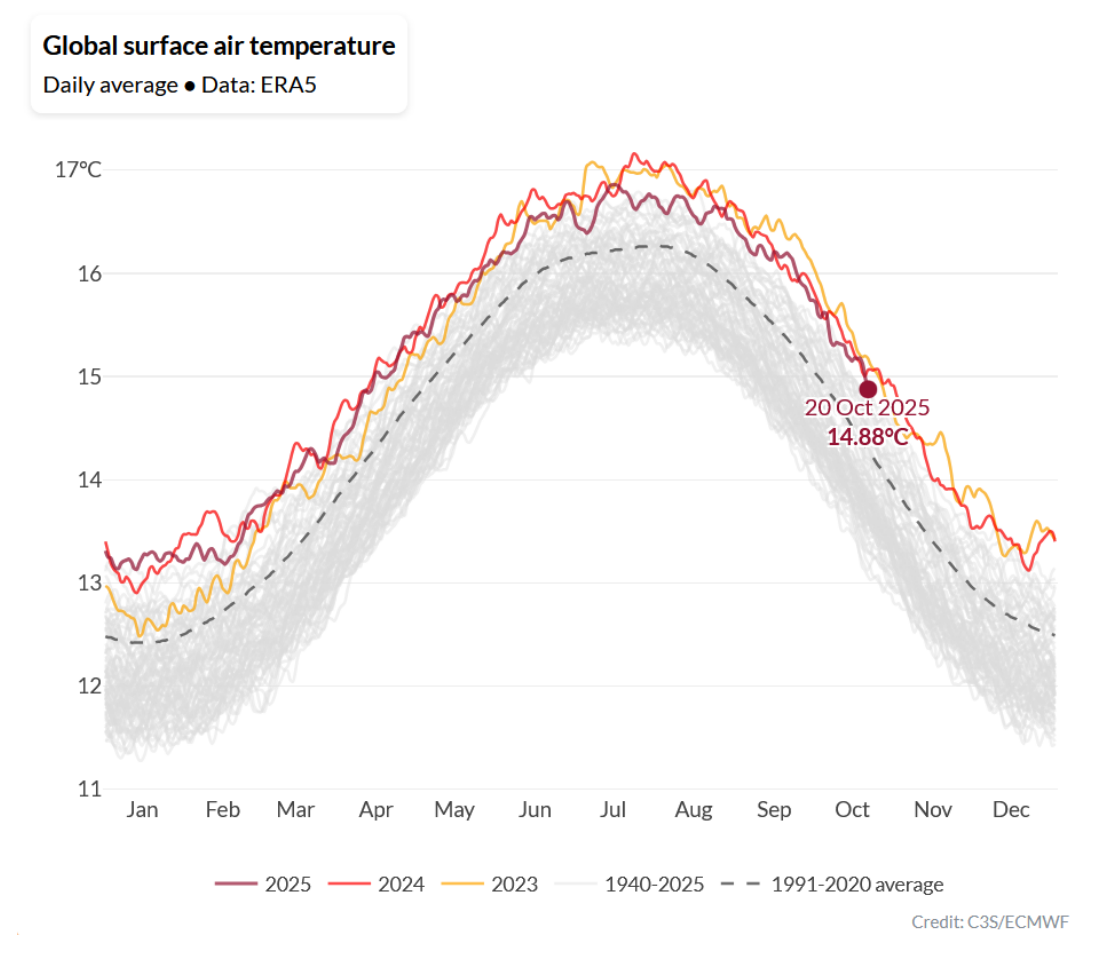
ФГБУ «Арктический и антарктический научно-исследовательский институт» Мировой центр данных по морскому льду



Информационные материалы по мониторингу морского ледяного покрова Арктики и Южного Океана на основе данных ледового картирования и пассивного микроволнового зондирования SSMR-SSM/I-SSMIS-AMSR₂



Санкт-Петербург 2025

тел. +7(812)337-3149, эл.почта: <u>vms@aari.aq</u> Адрес в сети Интернет: <u>http://wdc.aari.ru/datasets/doo42/</u>

Содержание

Северное Полушарие	3
Рисунок 1а – Обзорная ледовая карта СЛО (цветовая раскраска по общей сплоченности)	
Рисунок 1б – Обзорная ледовая карта СЛО (цветовая раскраска по преобладающему возрасту)	4
Рисунок 1в - Оценка толщины льда на основе данных ИСЗ AMSR2	5
Рисунок 1г – Положение кромки льда и зон разреженных и сплоченных льдов СЛО	6
Рисунок 1д – Обзорная ледовая карта СМП	7
Рисунок 2а – Ледовые условия за 24.01 - 28.01.2025. и аналогичные периоды 2007-2024 гг	8
Рисунок 2б – Поля распределения средневзвешенной толщины льда совместной модели морского льда	10
Рисунок 2в – Аномалия температуры поверхности морского льда и океана (к периоду 1991-2020 гг.)	11
Рисунок 2г – Поле дрейфа морского льда Арктики за последнюю неделю	
Рисунок 2д – Ежедневные оценки сезонного хода объема морского льда СЛО	13
Рисунок 2е – Аномалии приземной температуры воздуха (2м) и осредненные вектора скорости ветра	
Рисунок 2ж – Аномалии приземной суммы осадков за последнюю пентаду 2022-2025 гг	15
Таблица 1 - Медианные значения ледовитости для Северной полярной области	
Таблица 2 – Экстремальные и средние значения ледовитости для Северной полярной области	17
Таблица 3 – Динамика изменения значений ледовитости для морей Северной полярной области	17
Рисунок 3а – Ежедневные оценки сезонного хода ледовитости для Северной Полярной Области	19
Рисунок 3б – Ежедневные оценки сезонных изменений ледовитости для Северной Полярной Области	20
Южный океан	
Рисунок 5а – Ледовая карта Южного океана (цветовая окраска по общей сплоченности)	
Рисунок 5б – Ледовая карта Южного океана (цветовая окраска по возрасту)	
Рисунок 5в – Положение кромки льда и зон разреженных и сплоченных льдов Южного океана	23
Таблица 4 – Линейные размеры крупных айсбергов Южного океана	26
Рисунок 7а – Ежедневные оценки сезонного хода ледовитости Южного Океана	
Рисунок 7б – Ежедневные оценки сезонных изменений ледовитости для Южного океана	28
Таблица 5 - Медианные значения ледовитости для Южного океана	
Таблица 6 – Экстремальные значения ледовитости для Южного океана и 3 меридиональных секторов	
Таблица 7 – Динамика изменения значений ледовитости для морей Южного океана	29
Рисунок 9 – Ежедневные сглаженные значения ледовитости (площади распространения морского льда)	
Арктики, Антарктики и Земли в целом	30
Рисунок 10 – Ежедневные сглаженные значения приведенной ледовитости (площади морского льда)	
Арктики, Антарктики и Земли в целом	31
Рисунок 11 – Ежедневные сглаженные значения средней общей сплоченности Арктики и Антарктики	
Приложение 1 – Статистические значения ледовитостей по отдельным акваториям Северной Полярной Обл	
и Южного океана	
Таблица 8 – Средние, аномалии среднего и экстремальные значения ледовитостей для Северной и Южной	
полярных областей и её отдельных акваторий	
Таблица 10 – Динамика изменения значений ледовитости по сравнению с предыдущей неделей для морей	Í
Северной полярной области и Южного океана	
Характеристика исходного материала и методика расчетов	
Список источников	43

Северное Полушарие

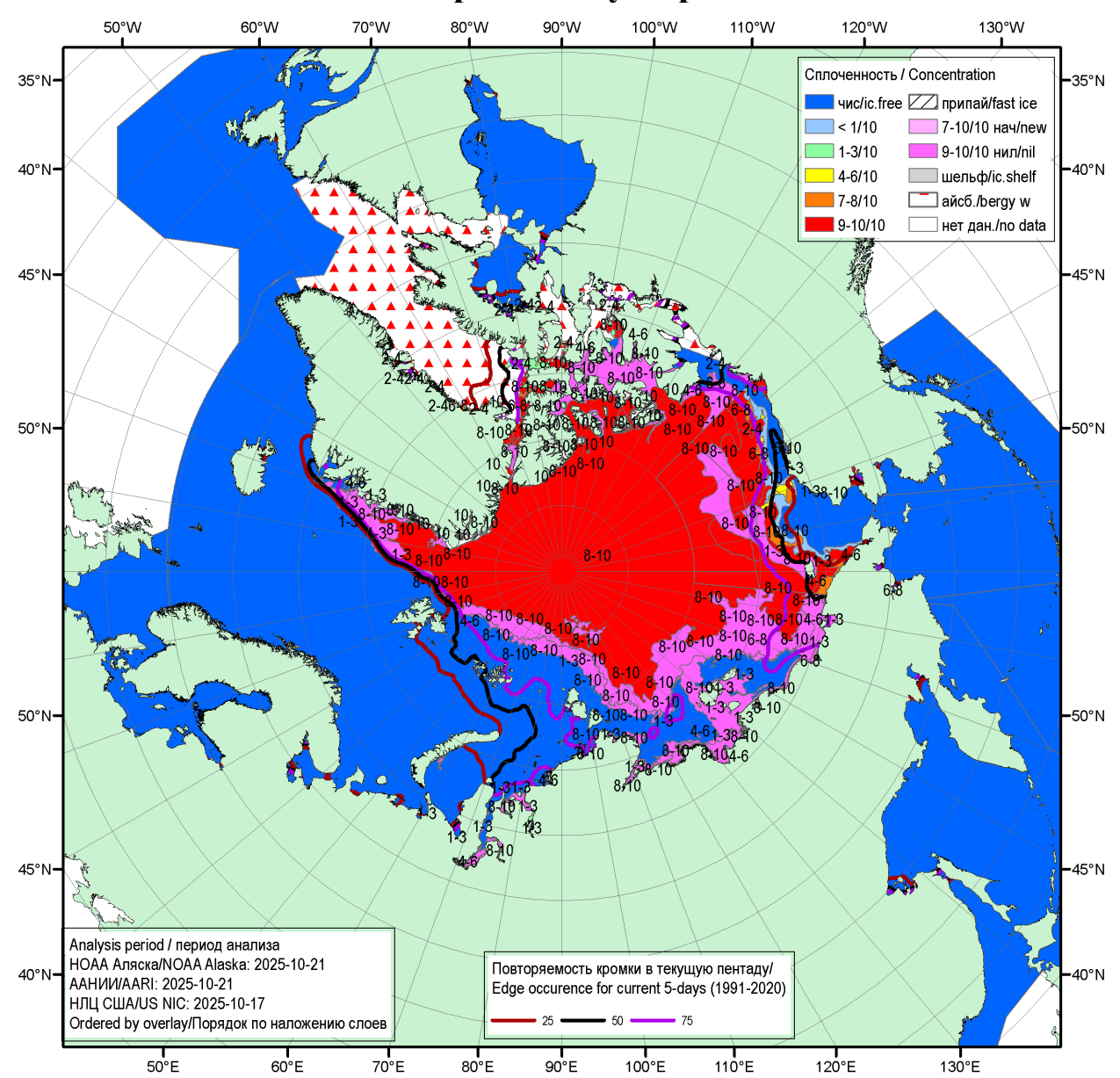


Рисунок 1а — Обзорная ледовая карта СЛО за 17.10.2025 — 21.10.2025 (цветовая раскраска по общей сплоченности) на основе ледового анализа НОАА Аляска, ААНИИ и Национального ледового центра США и повторяемость кромки за соответствующий 5-дневный период за 1991-2020 гг. по наблюдениям SSMR-SSM/I-SSMIS (алгоритм NASATEAM) [4, 10, 23, 17].

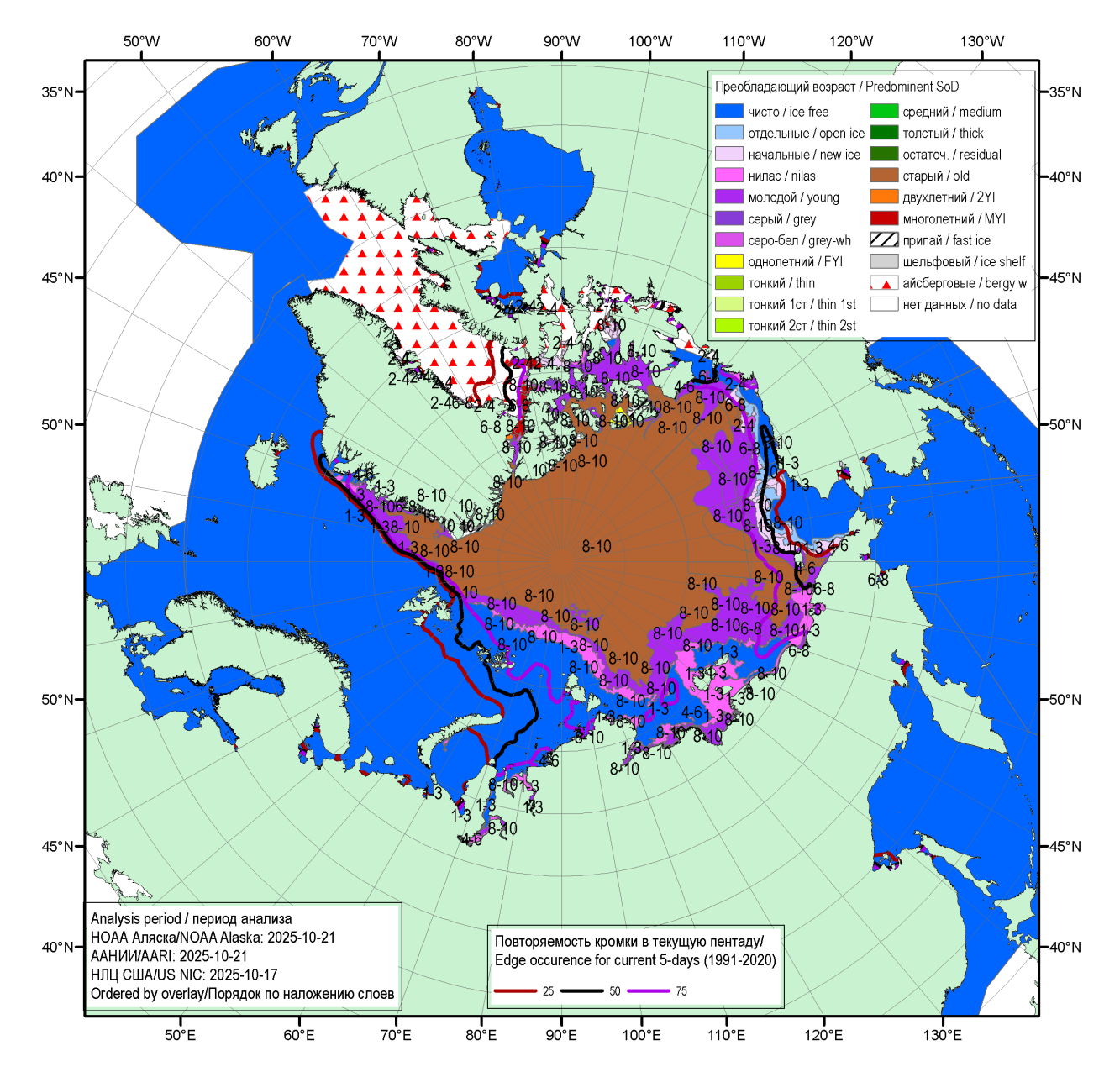


Рисунок 16 — Обзорная ледовая карта СЛО за 17.10.2025 — 21.10.2025 (цветовая раскраска по преобладающему возрасту) на основе ледового анализа НОАА Аляска, ААНИИ и Национального ледового центра США и повторяемость кромки за соответствующий 5-дневный период за 1991-2020 гг. по наблюдениям SSMR-SSM/I-SSMIS (алгоритм NASATEAM) [4, 10, 23, 17].

.

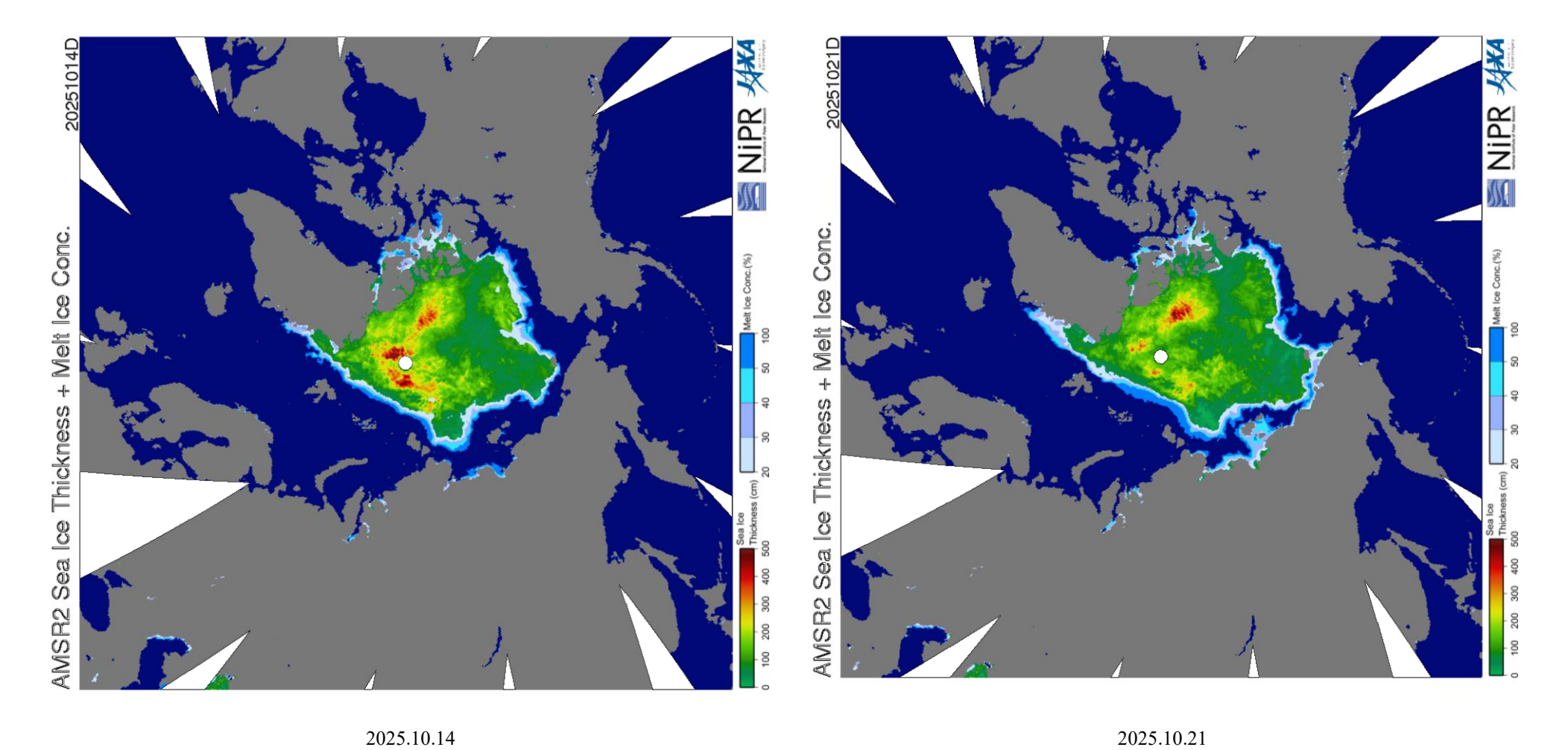


Рисунок 1в - Оценка толщины льда и степени разрушенности на основе данных пассивного микроволнового зондирования AMSR2 за текущий и предыдущий сроки [29].

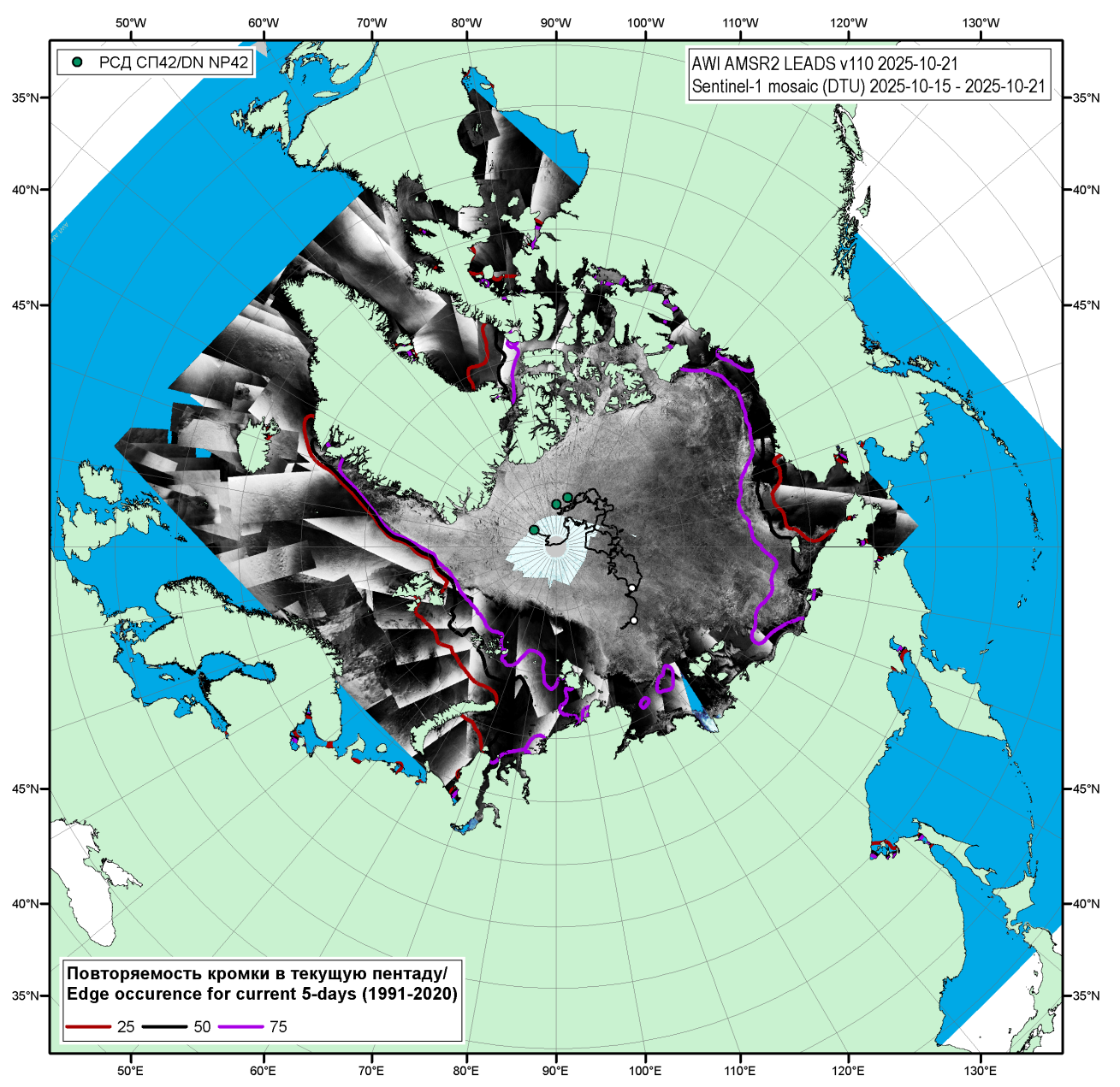


Рисунок 1Γ — Мозаика снимков Sentinel-1 (DTU) за 15.10.2025 — 21.10.2025, положение крупных полыней по данным AMSR2 за 21.10.2025 (AWI v110), повторяемость кромки за соответствующий 5-дневный период за 1991-2020 гг. по наблюдениям SSMR-SSM/I-SSMIS (алгоритм NASATEAM) и положение PCH СП-42 на 22.10.2025 г. 08:00MCK.

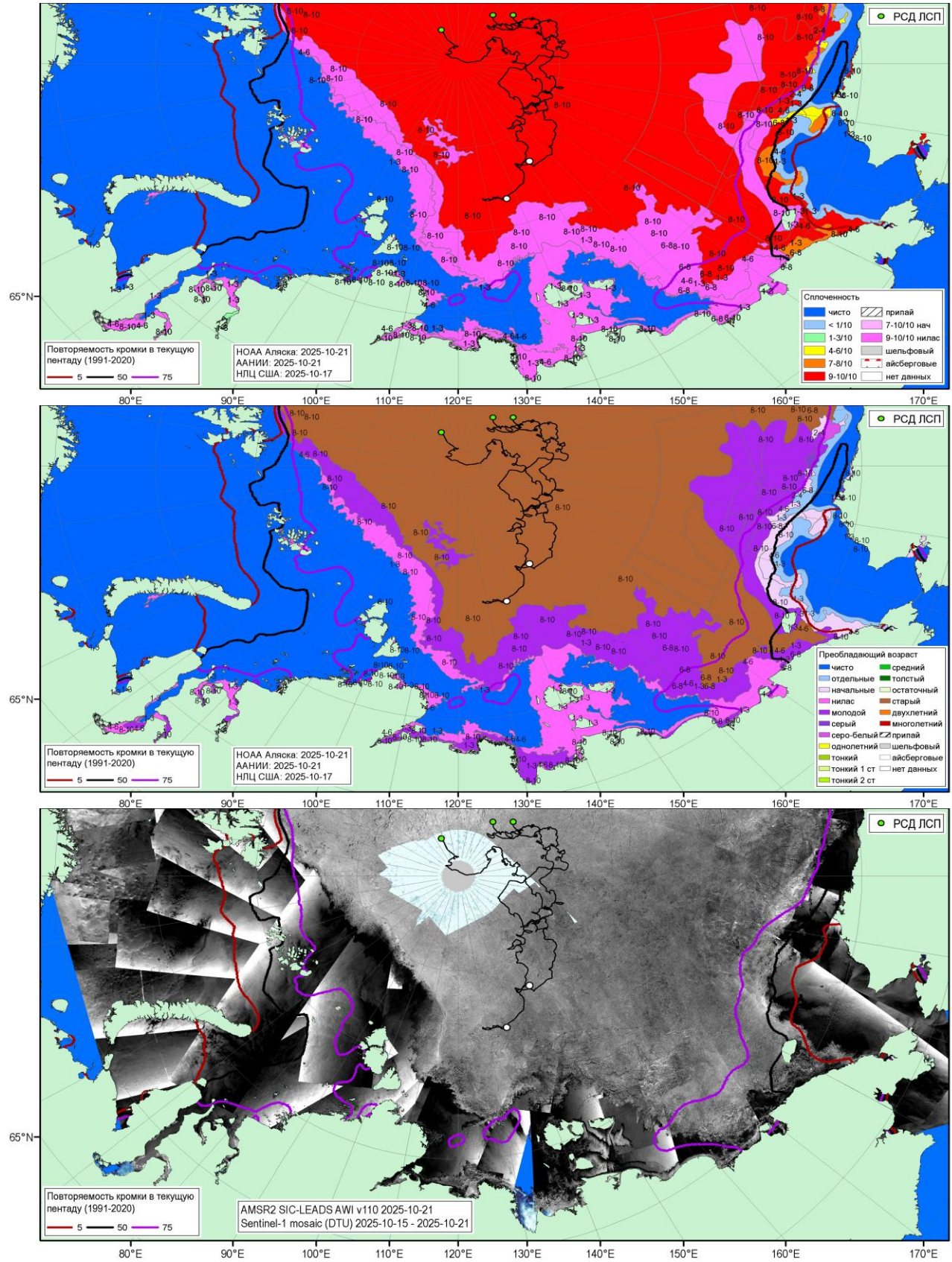


Рисунок 1д — Обзорная ледовая карта СМП за 21.10.2025 г. на основе ледового анализа НОАА Аляска, ААНИИ, мозаика снимков Sentinel-1 за 15.10-21.10.2025, положение крупных полыней по данным AMSR2 за 21.10.2025 (AWI v110), повторяемость кромки за соответствующий 5-дневный период 1991-2020 гг. по наблюдениям SSMR-SSM/I-SSMIS (алгоритм NASATEAM) и положение РСН СП-42 на 22.10.2025 0800MCK [27, 28, 17].

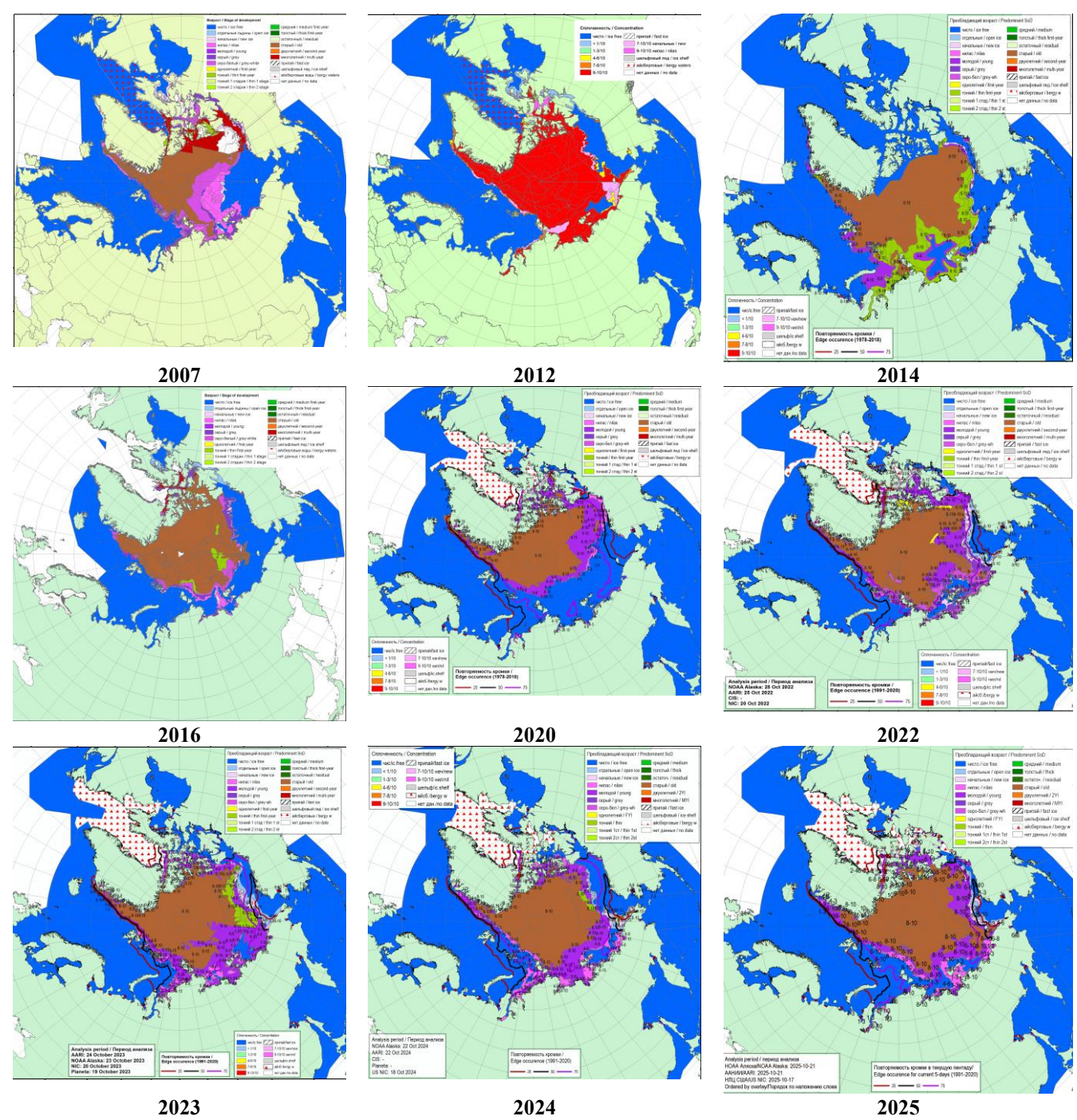


Рисунок 1ж — Ледовые условия за 17.10 - 21.10.2025. и аналогичные периоды 2007-2024 гг. на основе ледового анализа ААНИИ, НИЦ Планета, Канадской ледовой службы, Национального ледового центра США и НОАА Аляска [4, 10, 12, 23, 17].

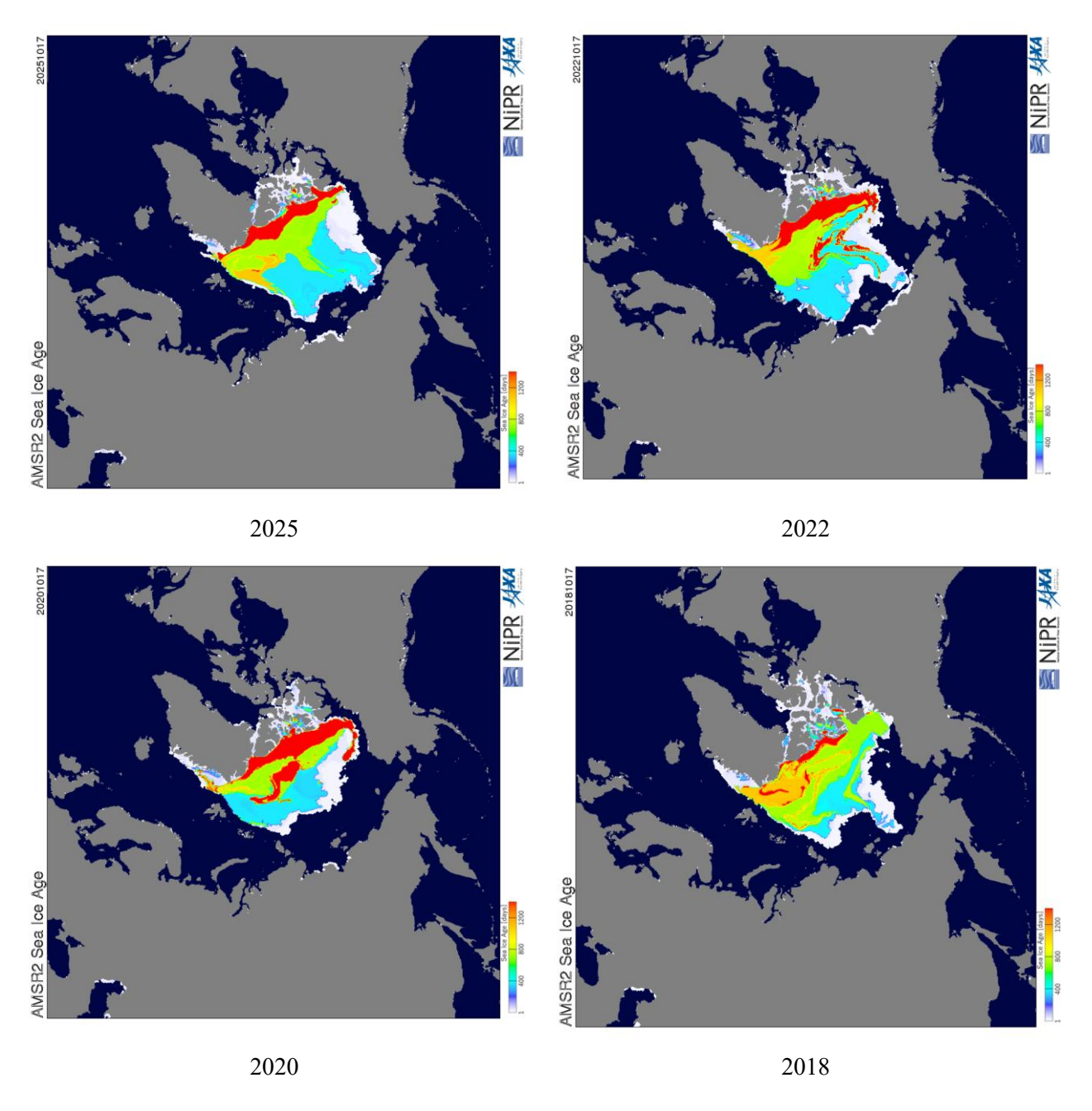


Рисунок 2a — Оценка возраста льда (сутки) на 17.10 за 2018 — 2025 гг. по данным JAXA-NIPR [29]

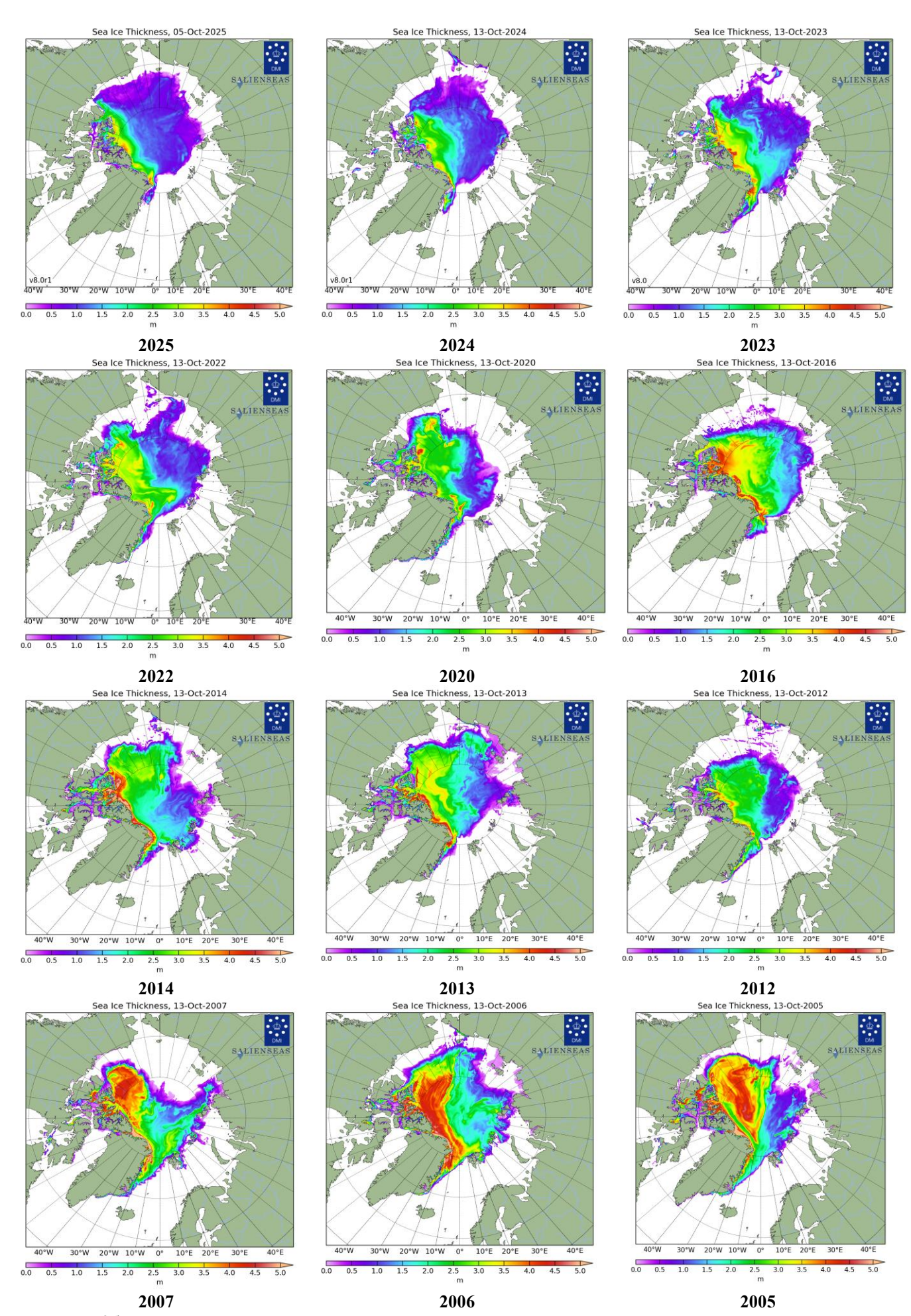


Рисунок 26 — Поля распределения средневзвешенной толщины льда совместной модели морского льда — океана HYCOM/CICE Датского метеорологического института 13.10 за 2005-2025 гг. [22].

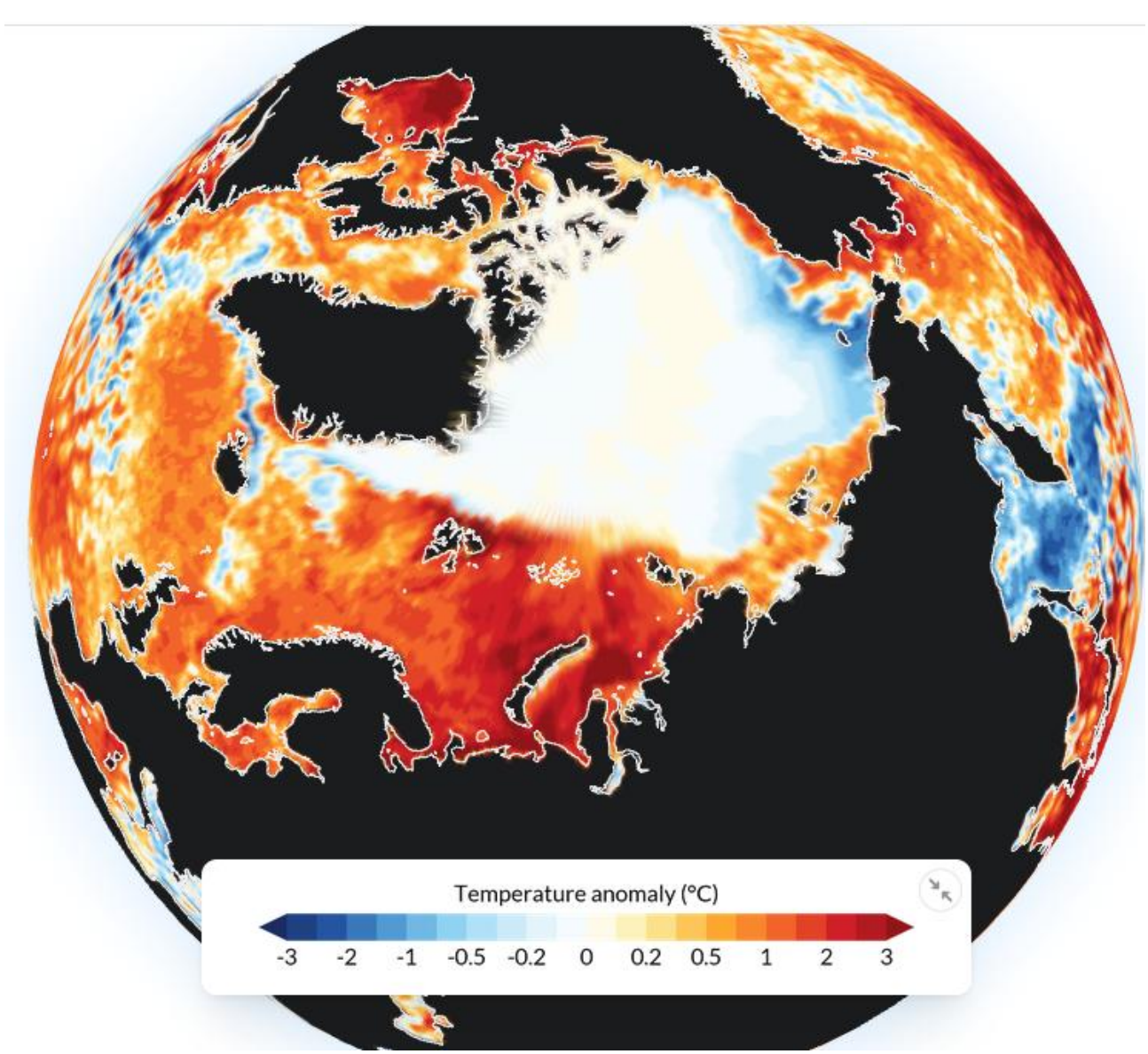


Рисунок 2в — Аномалия температуры поверхности морского льда и океана (к периоду 1991-2020 гг.) The Copernicus Climate Change Service (C3S), implemented by the European Centre for Medium-Range Weather Forecasts (ECMWF) on behalf of the European Commission is part of the European Union's space programme

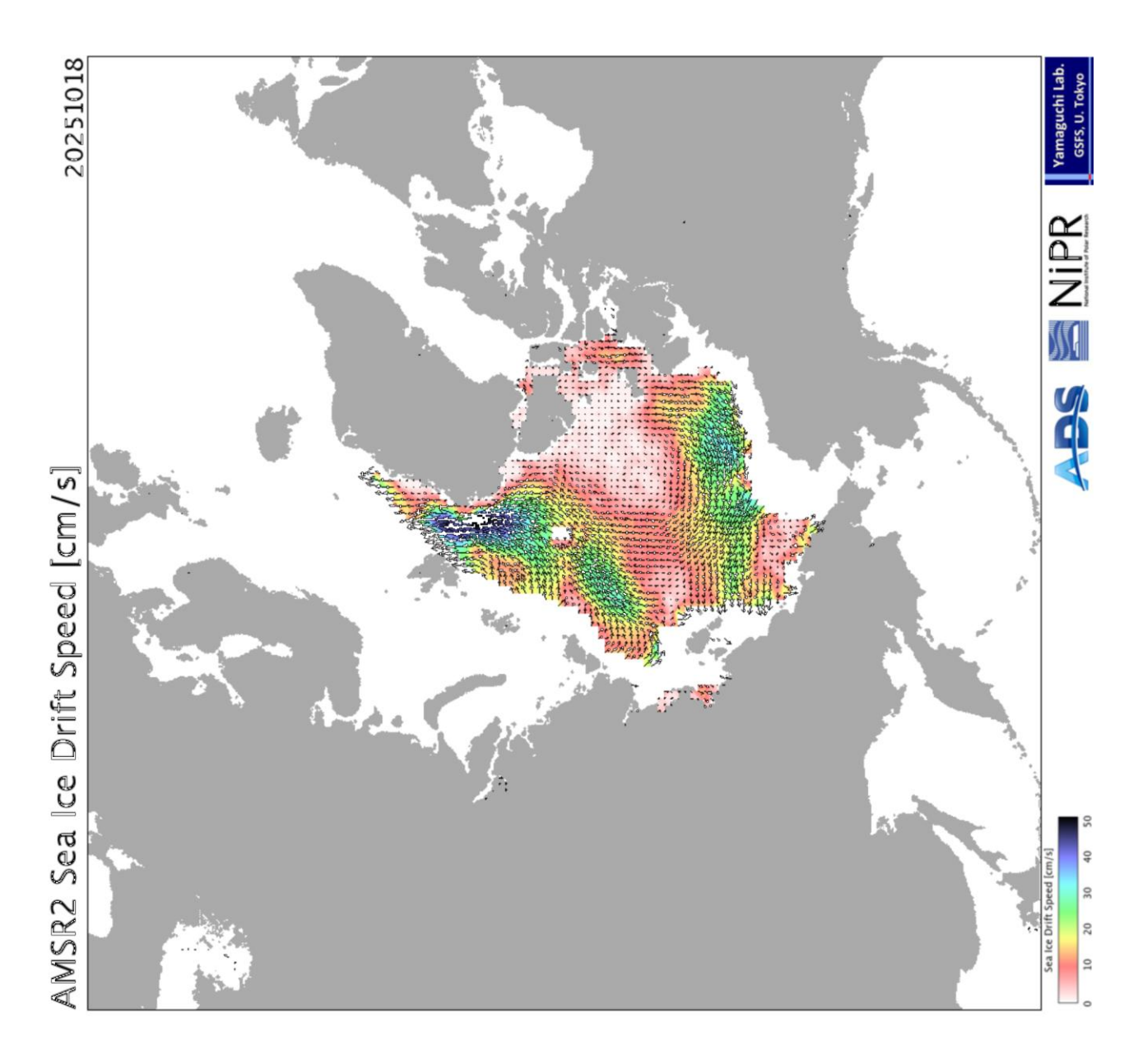


Рисунок 2Γ — Поле дрейфа морского льда Северной полярной области за последний доступный срок по данным AMSR2, источник JAXA [29].

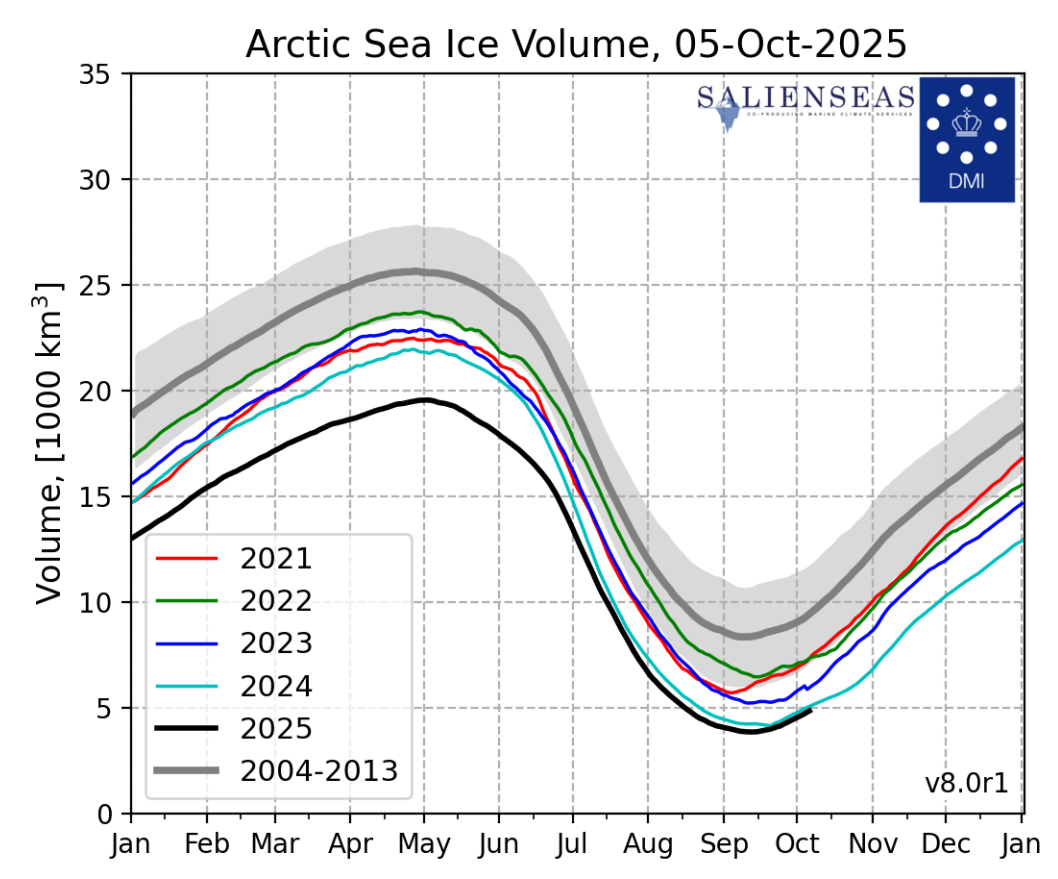


Рисунок 2д — Ежедневные оценки сезонного хода объема морского льда СЛО на основе расчетов средневзвешенной толщины льда совместной модели морского льда — океана HYCOM/CICE Датского метеорологического института с 28.02.2004 по последний доступный срок [22].

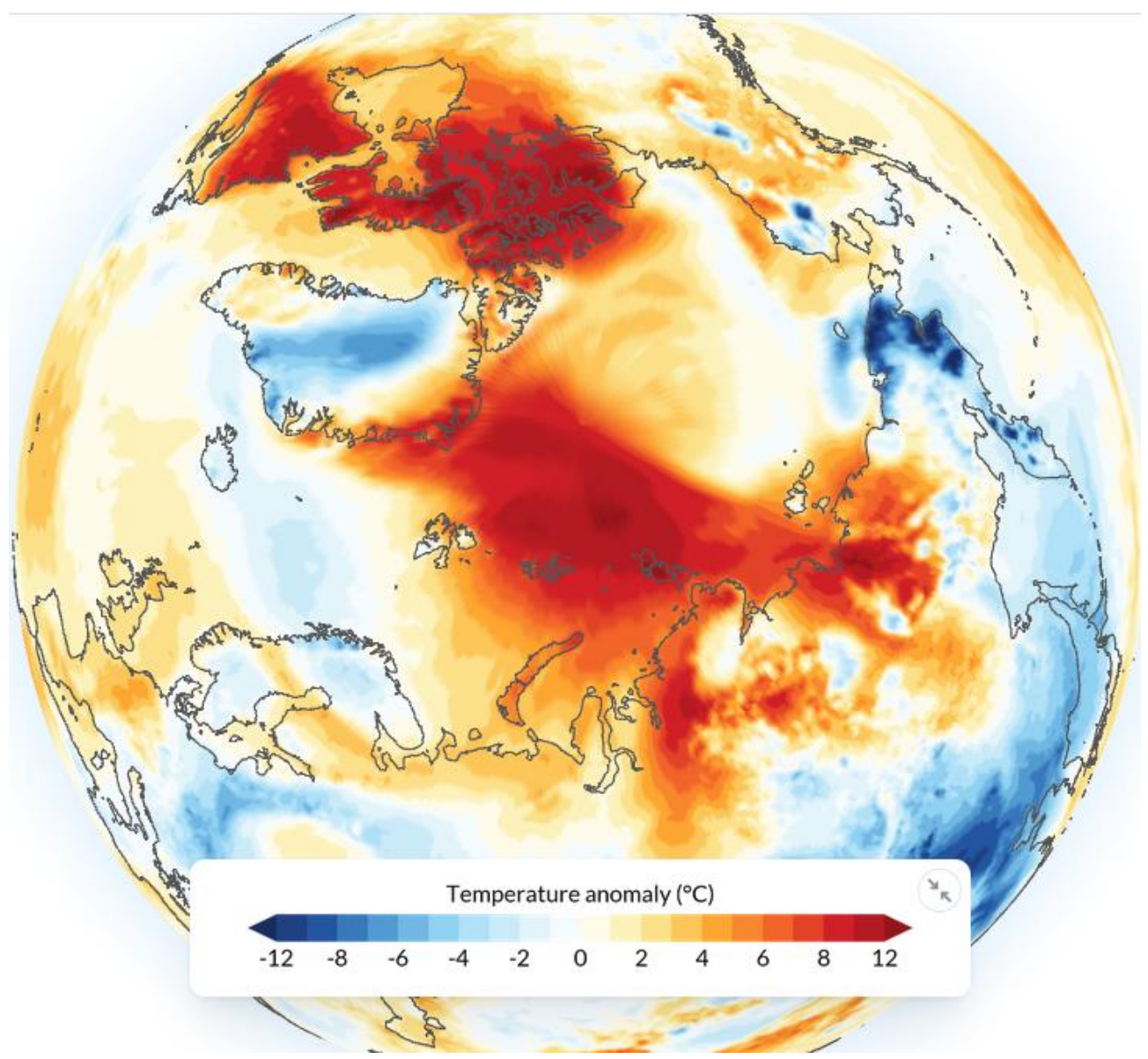


Рисунок 2e — Аномалия приземной температуры воздуха (2м) на 20.10.2025 г. относительно периода 1991-2020 гг. - The Copernicus Climate Change Service (C3S), implemented by the European Centre for Medium-Range Weather Forecasts (ECMWF) on behalf of the European Commission is part of the European Union's space programme.

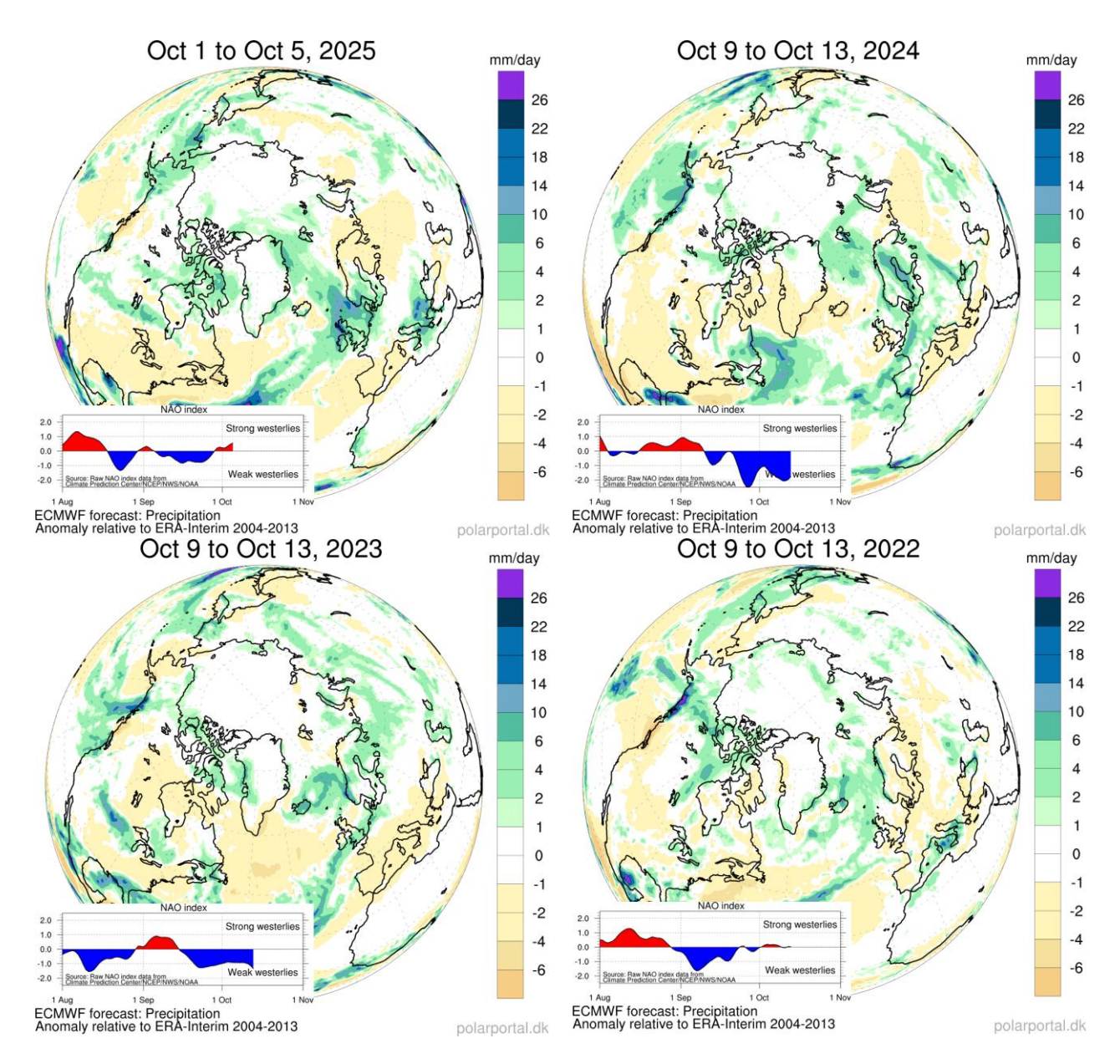


Рисунок 2ж — Аномалии приземной суммы осадков за последнюю пентаду 2022-2025 гг. относительно периода 2004-2013 гг [22].

Таблица 1 - Медианные значения ледовитости для Северной полярной области, 3-х меридиональных секторов и морей СМП за текущие 30 и 7-дневные интервалы, и её аномалии от 2020-2024 гг. и интервалов 2015-2025 гг. и 1978-2025 гг. по данным наблюдений SSMR-SSM/I-SSMIS, алгоритмы NASATEAM [13-17]

Месяц	Ѕ, тыс.			Aı	номалии, т	ыс км2/%		
Месяц	км2	2020 г	2021 г	2022 г	2023 г	2024 г	2015-2025гг	1978-2025гг
20.09-19.10	9.10 5686.1	947.8	-179.8	-122.0	375.0	620.7	315.1	-1111.6
20.09-19.10	5000.1	20.0	-3.1	-2.1	7.1	12.3	5.9	-16.4
12 10 10	12 10 10 6212 2		-549.9	-462.9	-59.9	602.4	134.8	-1458.9
13-19.10	6312.3	17.2	-8.0	-6.8	-0.9	10.5	2.2	-18.8

Сектор 45°W-95°E (Гренландское - Карское моря)

Мооди	S, тыс.	Аномалии, тыс км2/%								
Месяц км2		2020 г	2021 г	2022 г	2023 г	2024 г	2015-2025гг	1978-2025гг		
20.00.40.40	-96.3	-126.4	-277.0	-448.8	-133.7	-207.7	-595.3			
20.09-19.10	20.09-19.10 1016.5	-8.7	-11.1	-21.4	-30.6	-11.6	-17.0	-36.9		
13-19.10 1069.2	1060.2	-235.3	-322.1	-322.6	-539.5	-168.5	-281.0	-790.9		
13-19.10	1069.2	-18.0	-23.2	-23.2	-33.5	-13.6	-20.8	-42.5		

Сектор 95°E-170°W (моря Лаптевых - Чукотское, Берингово, Охотское)

Месяц	S, тыс.	Аномалии, тыс км2/%								
месяц	км2	2020 г	2021 г	2022 г	2023 г	2024 г	2015-2025гг	1978-2025гг		
20 00 10 10 1000 1	1128.3	159.0	155.9	365.8	190.2	365.8	-289.2			
20.09-19.10	20.09-19.10 1990.4	130.9	8.7	8.5	22.5	10.6	22.5	-12.7		
13-19.10 2187.3		1192.3	-194.6	-148.5	-40.7	-13.2	195.7	-519.0		
13-19.10	2107.3	119.8	-8.2	-6.4	-1.8	-0.6	9.8	-19.2		

Сектор 170°W-45°W (море Бофорта и Канадская Арктика)

Moogu	S, тыс.	Аномалии, тыс км2/%								
Месяц	км2	2020 г	2021 г	2022 г	2023 г	2024 г	2015-2025гг	1978-2025гг		
20 00 10 10	-84.2	-212.4	-1.0	458.0	564.2	157.0	-227.0			
20.09-19.10	2679.2	-3.0	-7.3	0.0	20.6	26.7	6.2	-7.8		
13-19.10	12 10 10 2055 0		-33.1	8.2	520.2	784.1	220.2	-149.0		
13-19.10	3055.8	-1.0	-1.1	0.3	20.5	34.5	7.8	-4.7		

Северный Ледовитый океан

Moogu	Ѕ, тыс.	Аномалии, тыс км2/%								
Месяц	км2	2020 г	2021 г	2022 г	2023 г	2024 г	2015-2025гг	1978-2025гг		
20.09-19.10	0.00.40.40 5264.7	964.5	-202.7	-112.9	369.3	623.1	215.3	-1281.9		
20.09-19.10	5361.7	21.9	-3.6	-2.1	7.4	13.1	4.2	-19.3		
13-19.10	12 10 10 5000 6	990.7	-521.0	-412.6	-7.1	653.8	59.6	-1593.2		
13-19.10	5986.6	19.8	-8.0	-6.4	-0.1	12.3	1.0	-21.0		

Моря СМП (моря Карское-Чукотское)

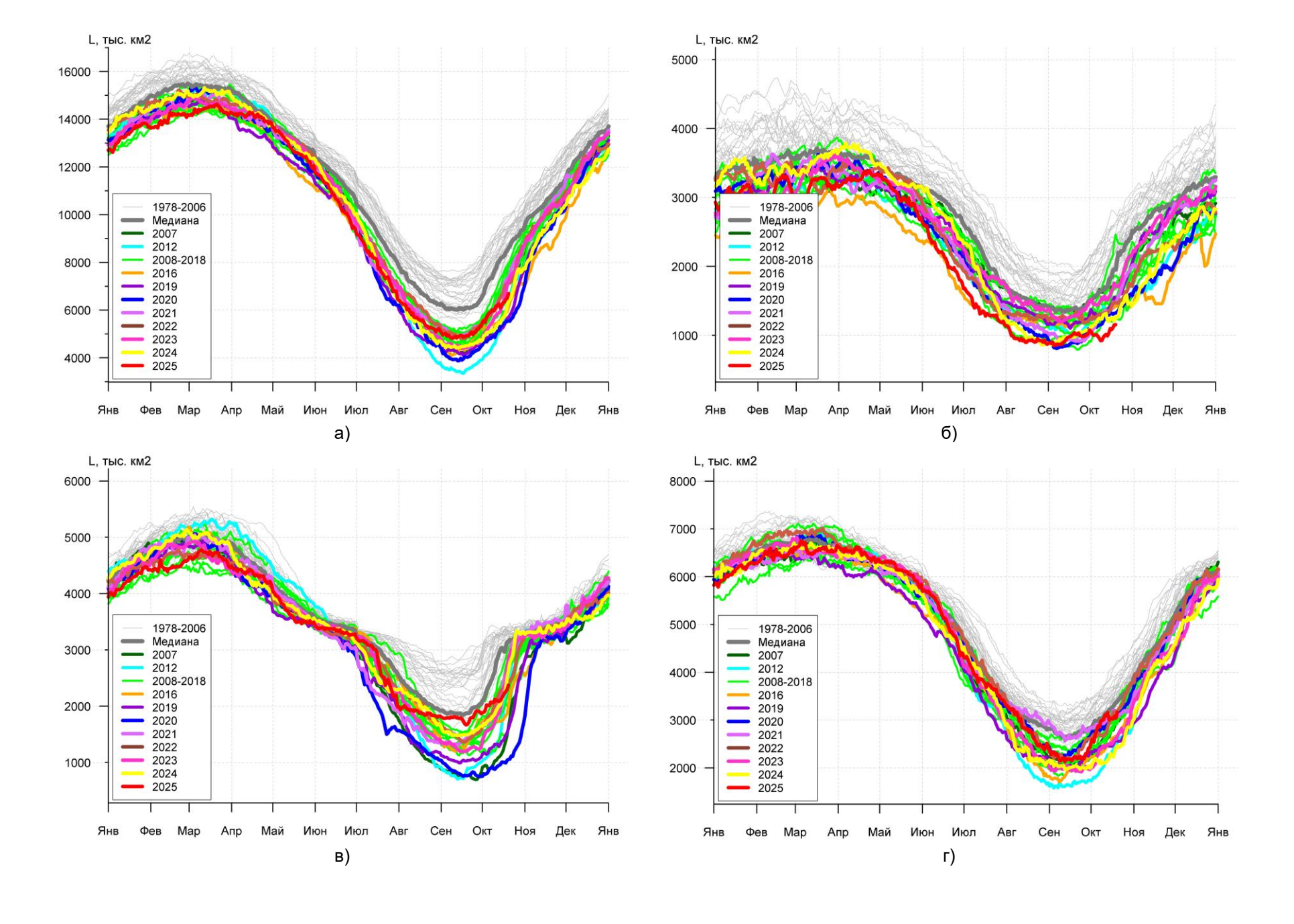
	Месяц	S, тыс.	Аномалии, тыс км2/%								
	месяц	км2	2020 г	2021 г	2022 г	2023 г	2024 г	2015-2025гг	1978-2025гг		
Ī	20.09-19.10 614.4	576.2	36.5	67.2	158.5	184.4	201.6	-544.7			
		014.4	1510.0	6.3	12.3	34.8	42.9	48.8	-47.0		
Ī	13-19.10	843.9	786.7	-354.1	-83.7	-41.7	51.8	113.5	-802.3		
	13-19.10	043.9	1377.1	-29.6	-9.0	-4.7	6.5	15.5	-48.7		

Таблица 2 — Экстремальные и средние значения ледовитости для Северной полярной области, 3 меридиональных секторов и моря СМП за текущий 7-дневный интервал по данным наблюдений [13-17]

Северная полярная область Месяц Минимальное знач. Максимальное знач. Среднее знач. Медиана 5000.6 9940.3 13-19.10 7771.1 8122.9 13.10.2012 19.10.1982 Сектор 45°W-95°E (Гренландское - Карское моря) Месяц Минимальное знач. Максимальное знач. Среднее знач. Медиана 993.9 2819.3 1830.5 13-19.10 1860.1 14.10.2025 17.10.1982 Сектор 95°E-170°W (моря Лаптевых - Чукотское, Берингово, Охотское) Месяц Минимальное знач. Максимальное знач. Среднее знач. Медиана 3417.4 950.4 13-19.10 2706.3 2952.9 13.10.2020 16.10.1983 Сектор 170°W-45°W (море Бофорта и Канадская Арктика) Минимальное знач. Месяц Максимальное знач. Среднее знач. Медиана 4199.4 2161.5 13-19.10 3204.8 3213.9 19.1_{0.1983} 13.10.2024 Северный Ледовитый океан Месяц Минимальное знач. Максимальное знач. Среднее знач. Медиана 4795.7 9656.3 13-19.10 7579.8 7967.1 13.10.2020 19.10.1982 Моря СМП (моря Карское-Чукотское) Минимальное знач. Среднее знач. Месяц Максимальное знач. Медиана 42.6 2639.5 13-19.10 1646.2 1911.6 13.10.2020 17.10.1988

Таблица 3 — Динамика изменения значений ледовитости по сравнению с предыдущей неделей для морей Северной полярной области за 13.10-19.10.2025 г. по данным наблюдений SSMR-SSM/I-SMIS [13-17]

Регион	Северная полярная область	Сектор 45°W- 95°E (Гренландское - Карское моря)	Сектор 95°Е- 170°W (моря Лаптевых - Чукотское, Берингово, Охотское)	Сектор 170°W-45°W (море Бофорта и Канадская Арктика)	Северный Ледовитый океан	Моря СМП (моря Карское- Чукотское)
Разность	279.8	101.3	110.8	67.7	335.6	157.5
тыс.кв.км/сут.	40.0	14.5	15.8	9.7	47.9	22.5



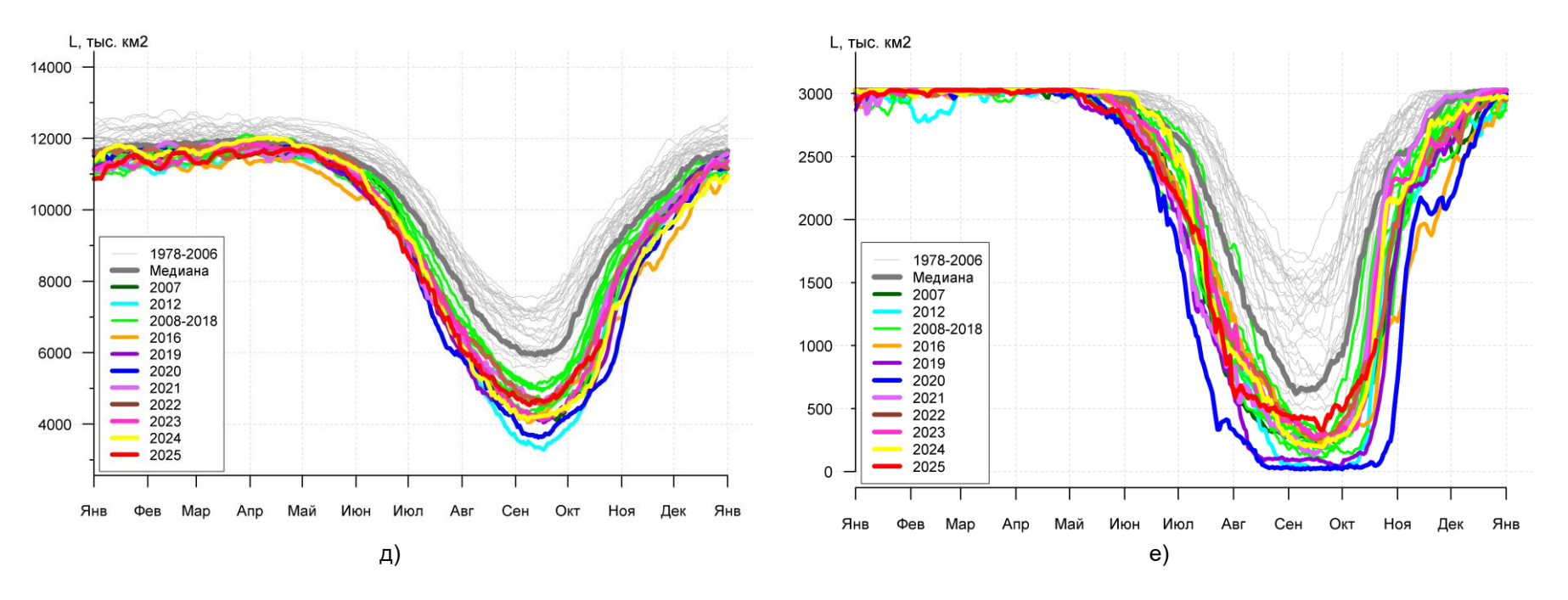


Рисунок 3а — Ежедневные оценки сезонного хода ледовитости для Северной Полярной Области и трех меридиональных секторов, СЛО и морей СМП за период 26.10.1978 — последний доступный срок по годам на основе расчетов по данным SSMR-SSM/I-SSMIS, алгоритмы NASATEAM: а) Северная полярная область, б) сектор 45°W-95°E (Гренландское — Карское моря), в) сектор 95°E-170°W (моря Лаптевых — Чукотское и Берингово, Охотское), г) сектор 170°W-45°W (море Бофорта и Канадская Арктика), д) Северный Ледовитый океан, е) Северный морской путь (Карское - Чукотское моря) [13-17].

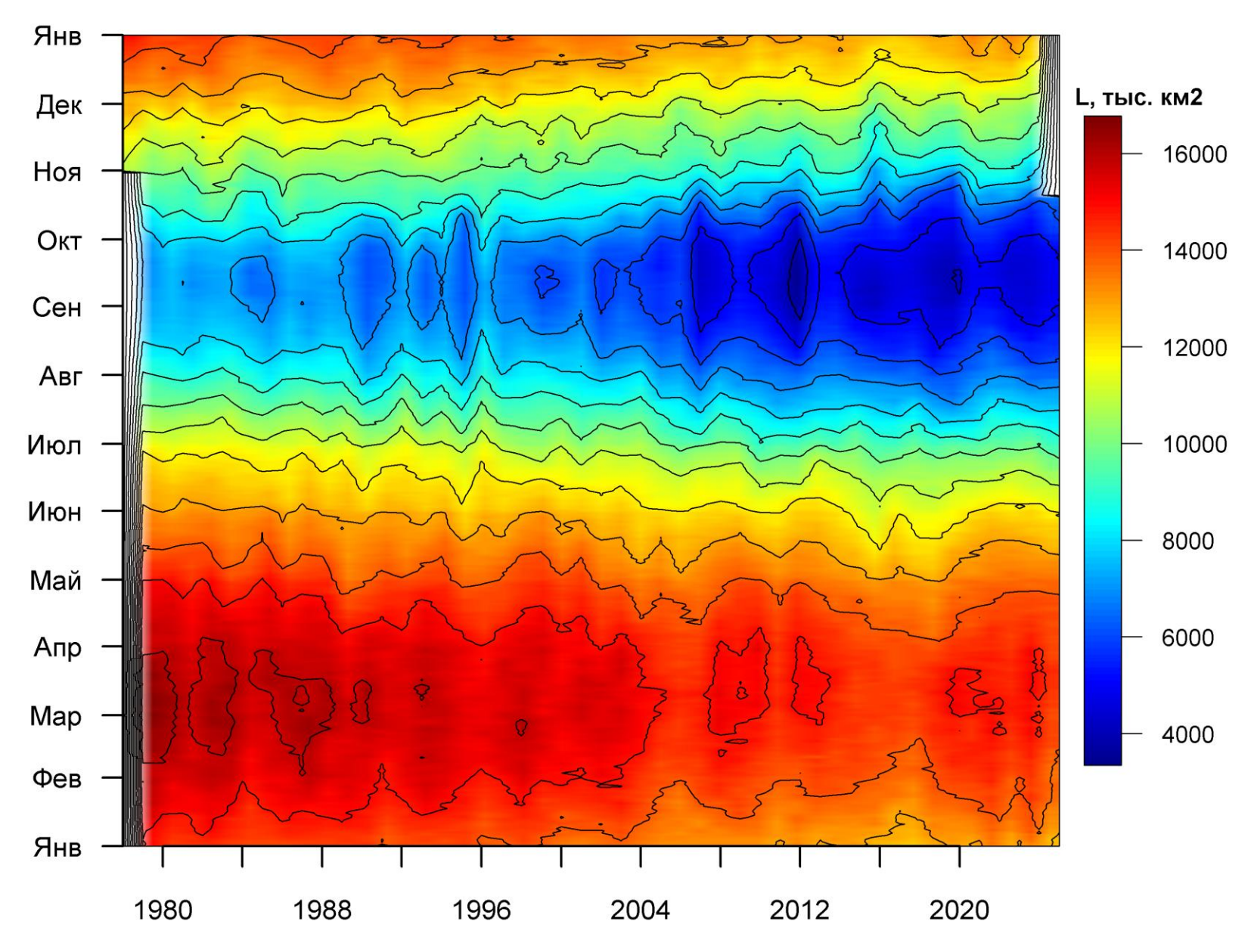


Рисунок 36 — Ежедневные оценки сезонных изменений ледовитости для Северной Полярной Области за период 26.10.1978 — последний доступный срок на основе расчетов по данным SSMR-SSM/I-SSMIS, алгоритм NASATEAM [13-17].

Южный океан

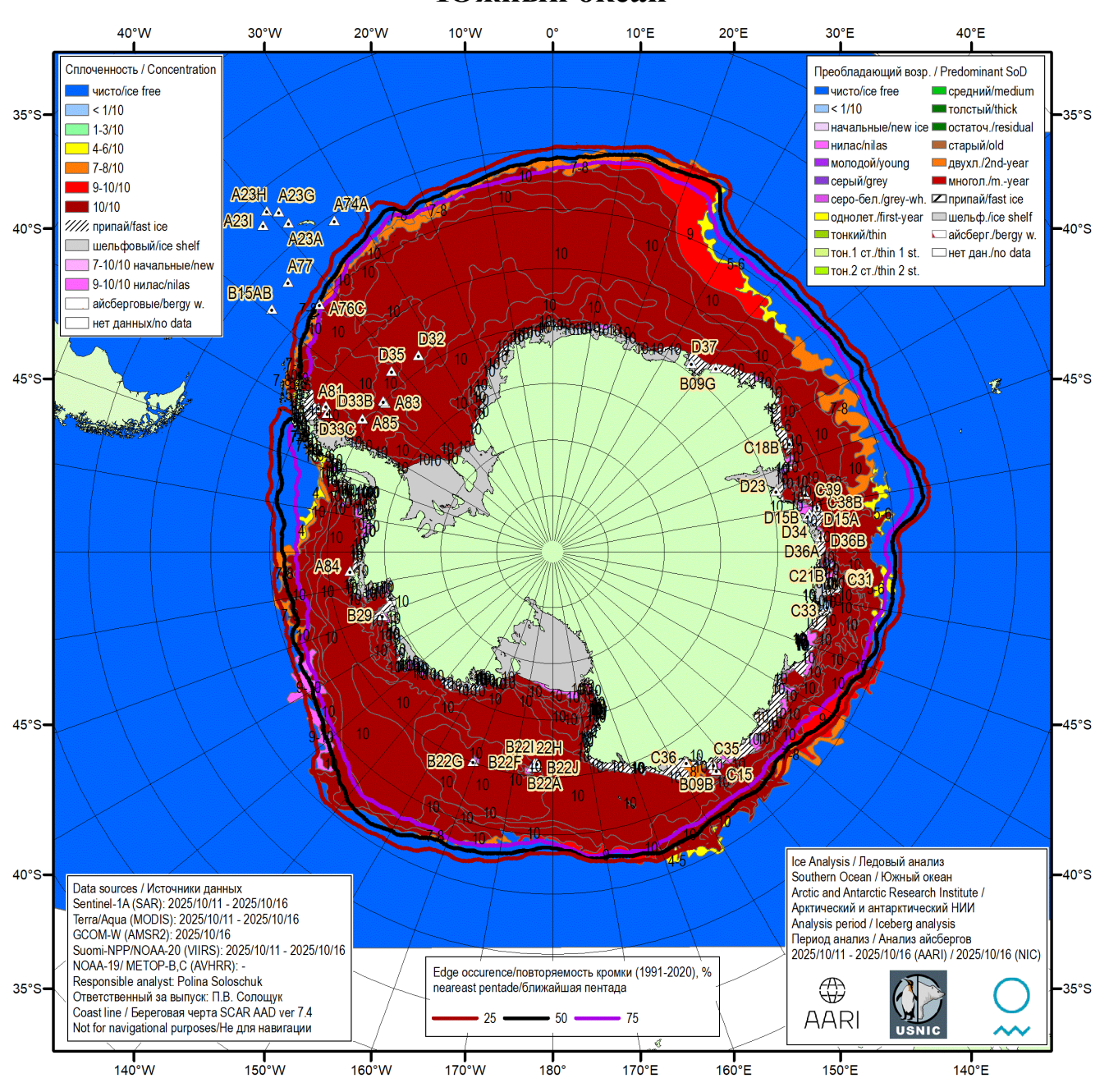


Рисунок 5а — Ледовая карта Южного океана (цветовая окраска по общей сплоченности) и расположение крупных айсбергов на основе ледового анализа за 16.10.2025 в рамках проекта совместного ледового картирования Южного океана ААНИИ, НЛЦ США и НМИ и повторяемость кромки за ближайшую пентаду за период 1991-2020 гг. по наблюдениям SSMR-SSM/I-SSMIS (алгоритм NASATEAM) [5, 10, 17, 21]

h

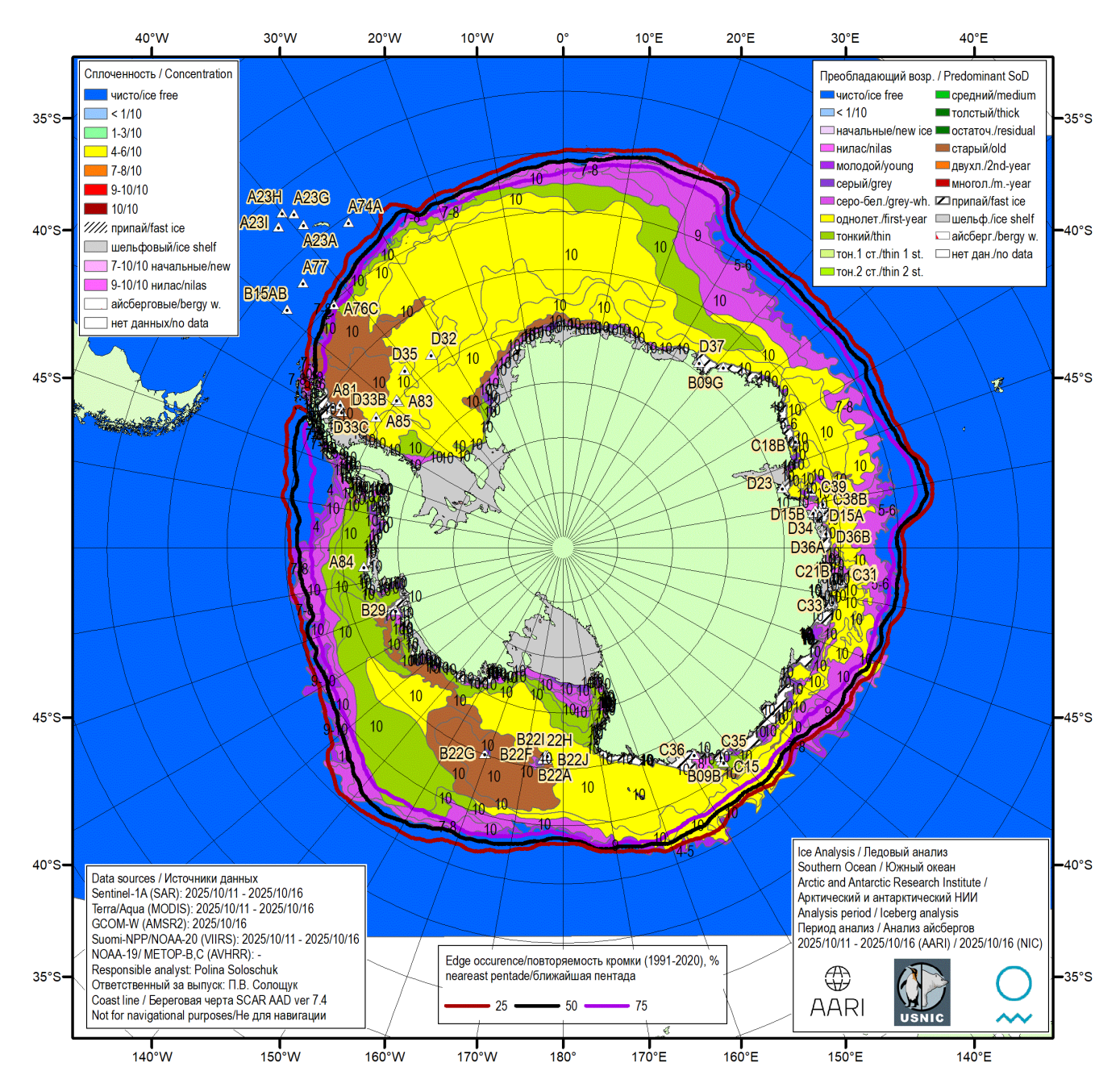


Рисунок 56 — Ледовая карта Южного океана (цветовая окраска по возрасту) и расположение крупных айсбергов на основе ледового анализа за 16.10.2025 в рамках проекта совместного ледового картирования Южного океана ААНИИ, НЛЦ США и НМИ и повторяемость кромки за ближайшую пентаду за период 1991-2020 гг. по наблюдениям SSMR-SSM/I-SSMIS (алгоритм NASATEAM) [5, 10, 17, 21].

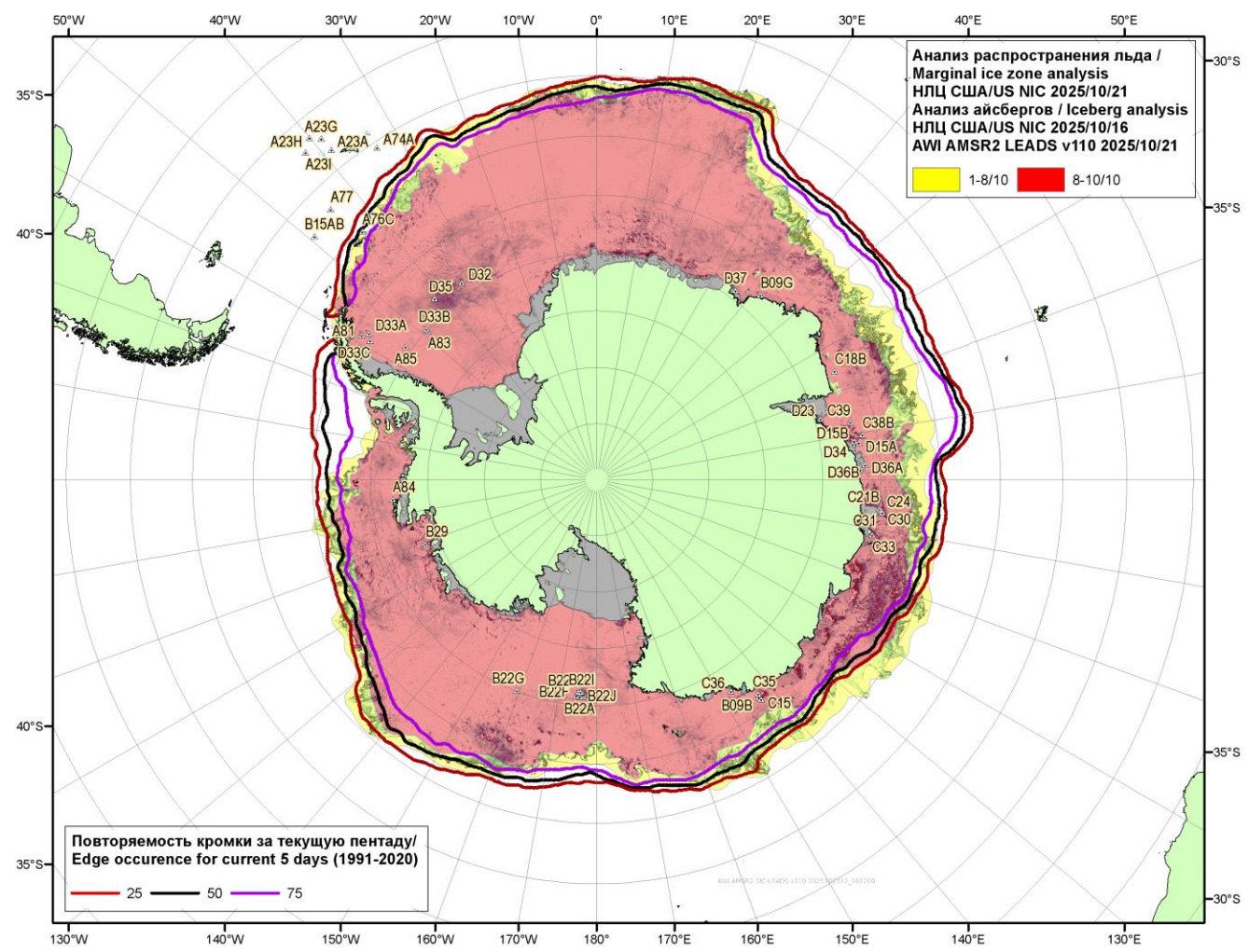


Рисунок 5в — Положение кромки льда и зон разреженных (<8/10) и сплоченных (≥8/10) льдов Южного океана за 21.10.2025 г. и расположение крупных айсбергов за 16.10.2025 на основе ледового анализа Национального Ледового Центра США, повторяемость кромки за ближайшую пентаду за период 1991-2020 гг. по наблюдениям SSMR-SSM/I-SSMIS (алгоритм NASATEAM), совмещенное с положением разрежений на основе данных ИСЗ AMSR2 за 21.10.2025 (AWI, v110) [10, 17, 24]

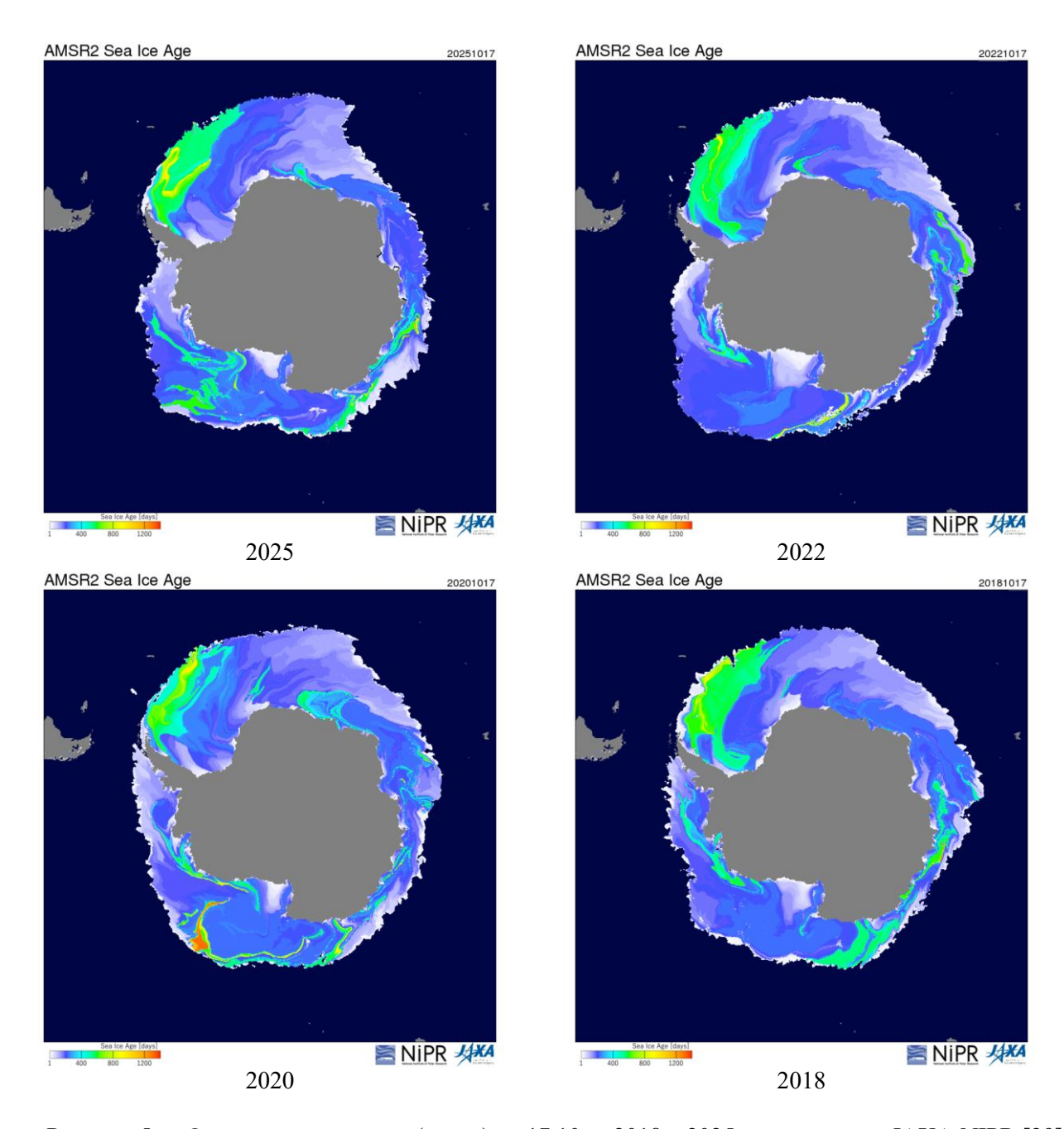


Рисунок 5г — Оценка возраста льда (сутки) на 17.10 за 2018-2025 гг. по данным JAXA-NIPR [29]

Рисунок 6 — Поле дрейфа морского льда Южного океана за последний доступный срок по данным AMSR2, источник JAXA [29]

Таблица 4 — Линейные размеры и площадь крупных айсбергов Южного океана на основе анализа НЛЦ США за 28.08.2025 [11]

Имя	Длина км	Ширина км	Площадь кв.км	Имя	Длина км	Ширина км	Площадь кв.км
D15A	94.5	40.7	3071.0	D34	20.4	14.8	171.8
A23A	61.1	59.3	2371.4	B09G	22.2	13.0	160.9
B22A	53.7	46.3	1578.9	D23	13.0	11.1	123.3
A81	51.9	46.3	1378.5	D32	16.7	11.1	103.7
C36	42.6	29.6	866.3	B22I	16.7	9.3	100.8
A74A	55.6	33.3	834.3	C39	27.8	14.8	97.6
D15B	59.3	22.2	833.4	B15AB	18.5	7.4	92.5
D33A	63.0	18.5	642.3	B22G	16.7	9.3	84.6
B09B	50.0	18.5	505.5	A23F	16.7	7.4	78.8
D37	55.6	13.0	477.8	A23D	24.1	11.1	78.3
D35	51.9	11.1	347.5	C30	16.7	5.6	76.3
A76C	29.6	13.0	338.8	A23E	16.7	7.4	73.0
B22F	25.9	14.8	335.9	C31	16.7	5.6	72.1
A77	50.0	7.4	322.6	C33	20.4	7.4	64.1
D33B	38.9	22.2	304.6	A85	18.5	5.6	62.6
C21B	22.2	14.8	258.1	C24	20.4	5.6	62.3
B22H	35.2	13.0	229.4	C35	14.8	9.3	57.3
D33C	27.8	13.0	222.3	B29	20.4	9.3	56.9
C15	25.9	18.5	213.0	D36A	11.1	9.3	44.5
A84	22.2	11.1	206.0	C38B	14.8	13.0	38.9
C18B	37.0	7.4	195.8	D36B	16.7	3.7	27.2
A83	22.2	13.0	189.8				

Суммарная площадь == **17450 кв. км** (18.07.2025 – 18106, 05.06.2025 – 18240, 02.05.2025 – 18445, 27.03.2025 – 18830, 21.02.2025 – 19222, 23.01.2025 – 18636 кв. км)

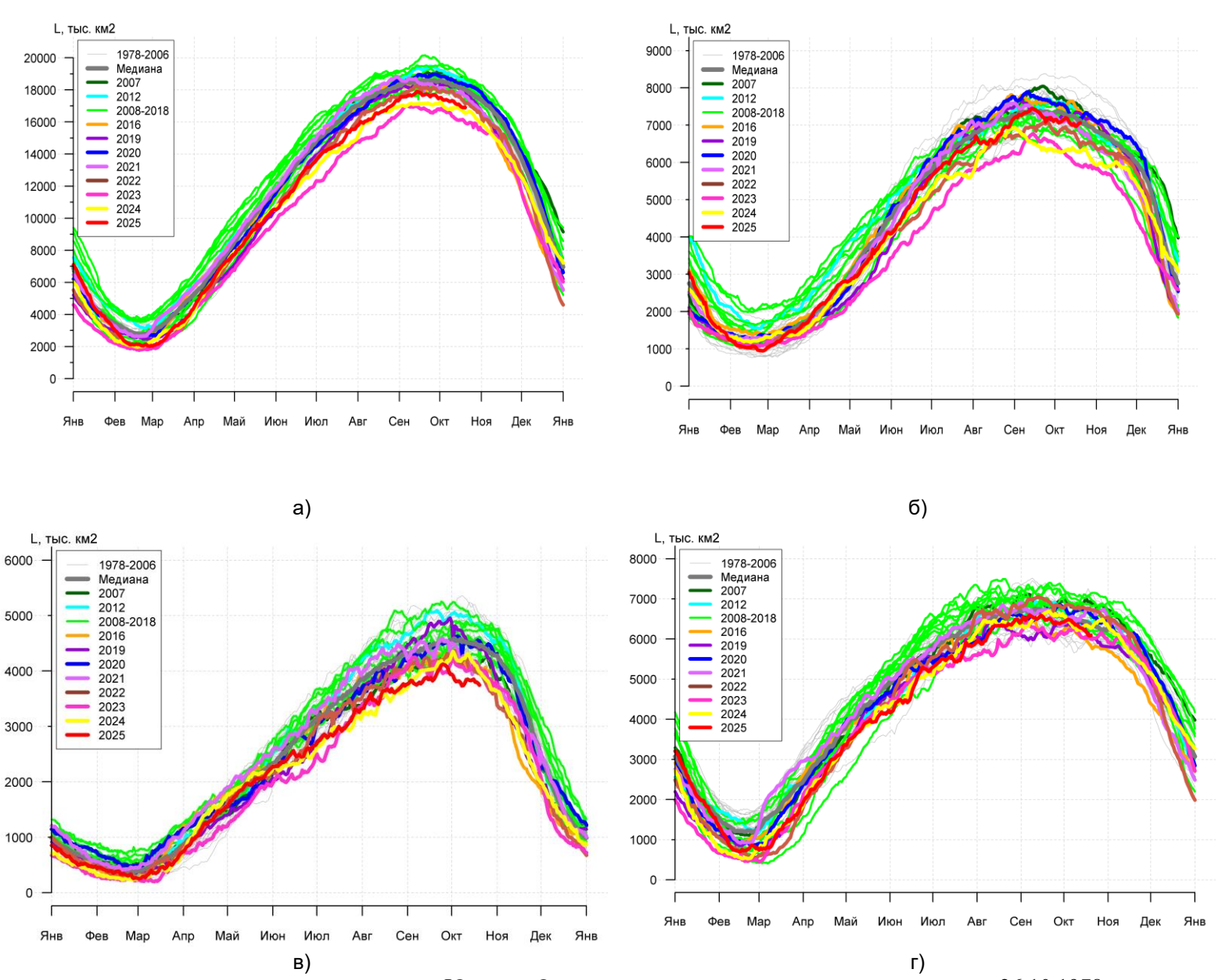


Рисунок 7а — Ежедневные оценки сезонного хода ледовитости Южного Океана и меридиональных секторов за период 26.10.1978 — последний доступный срок по годам на основе расчетов по данным SSMR-SSM/I-SSMIS, алгоритм NASATEAM: а) Южный Океан, б) Атлантический сектор (60°W-30°E, море Уэдделла), в) Индоокеанский сектор (30°E-150°E, моря Космонавтов, Содружества, Моусона), г) Тихоокеанский сектор (150°E-60°W, моря Росса, Беллинсгаузена) [13-17]

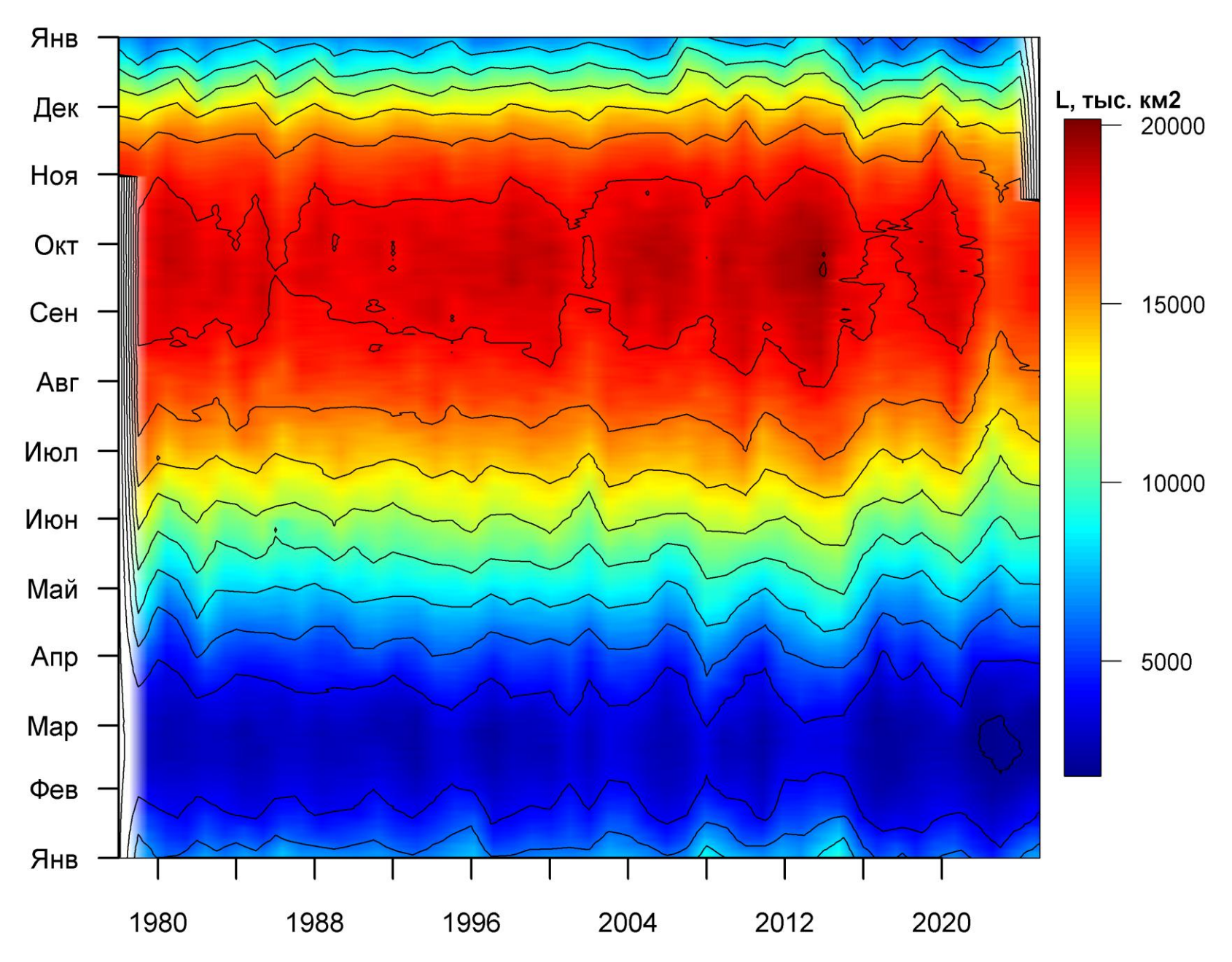


Рисунок 76 — Ежедневные оценки сезонных изменений ледовитости для Южного океана за период 26.10.1978 — последний доступный срок на основе расчетов по данным SSMR-SSM/I-SSMIS, алгоритм NASATEAM [13-17].

Таблица 5 — Медианные и экстремальные значения ледовитости для Южного океана и 3 меридиональных секторов за текущие 30 и 7-дневные интервалы и её аномалии от 2020-2024 гг. и интервалов 2015-2025 гг. и 1978-2025 гг. по данным наблюдений SSMR-SSM/I [13-17]

интервалов 20	13-2023 11.	и 1770-20	<i>23</i> 11. 11	данным нас Южный		a ssiviix-ss	111/1 [13-1	/]	
M	S, тыс.			Α	номалии	тыс км2/%	١		
Месяц	км2	2020 г	2021		2023 г	2024 г	2015-20)25гг	1978-2025гг
20.09-19.10	17385.5	-1329.3	-633	1 -473.0	865.8	417.8	-4	32.6	-968.0
20.09-19.10	17300.0	-7.1	-3		5.2			-2.4	-5.3
13-19.10	17017.1	-1394.3	-759		890.2	2 231.1	-5	55.8	-1090.5
13-19.10	17017.1	-7.6	-4		5.5			-3.2	-6.0
		Атлан	тически	й сектор (60°					
Месяц	S, тыс.		Аномалии, тыс						T
Моолц	км2	2020 г	2021		2023 г	2024 г	2015-20		1978-2025гг
20.09-19.10	7121.2	-370.5	-35		787.8			22.2	-142.1
		-4.9	-0		12.4			1.7	-2.0
13-19.10	7011.4	-192.1	5		1022.3			17.6	-117.6
		-2.7	0		17.1			1.7	-1.6
	Индоокеанский сектор (30°E-150°E, моря Космонавтов, Содружества, Моусона)								
Месяц	Ѕ, тыс.	0000	Аномалии, тыс км2/%						1070 0005
•	км2	2020 г	2021		2023 г	2024 г	2015-20		1978-2025гг
20.09-19.10	3899.8	-608.1	-440		-175.9	_		27.6	-643.6
		-13.5	-10		-4.3			-9.9	-14.2
13-19.10	3818.5	-671.6 -15.0	-288		-281.1 -6.9			32.2	-687.9 -15.3
			15.0 7.0 4.9 6.9 7.9 рокеанский сектор (150°E-60°W, моря Росса, Беллинсгауз						-13.3
тихоокеанский сектор (150 E-60 W, моря Росса, Беллинстаузена) Масси S, тыс. Аномалии, тыс км2/%									
Месяц	о, тыс. км2	2020 г	2021		2023 г	2024 r	2015-20	125гг	1978-2025гг
		-350.8	-156		253.9			27.2	-182.3
20.09-19.10	6364.4	-5.2	-100		4.2			-2.0	-2.8
		-530.5	-476		149.0			41.2	-284.9
13-19.10	6187.2	-7.9	-7		2.5			-3.8	-4.4
		1.0	•	Южный		2.0	1	0.0	
Месяц	Миним	иальное зн	ач. М	Лаксимально		Средне	е знач.		Медиана
•		16082.0		19319.2					
13-19.10		9.10.2023		15.10.20°		1810	7.5		18118.2
	•	Атлан	тически	й сектор (60°	W-30°E,	море Уэдд	елла)	•	
Месяц	Миним	иальное зн	ач. М	Л аксимально	е знач.	Средне	е знач.		Медиана
13-19.10	5926.1			8312.8		712	o 0		7149.9
19.10.2023				13.10.1980					
				E-150°E, моря					
Месяц	Миним	иальное зн	ач. 1	<u> Лаксимально</u>		Средне	е знач.		Медиана
13-19.10		3778.9		5240.0		450	5.4		4476.8
		9.10.2025	<u></u>	13.10.198				L	
				p (150°E-60°					N.4
Месяц	Миним	иальное зн	ач. 1	<u> Лаксимально</u>	е знач.	Средне	е знач.		Медиана

Таблица 6 — Динамика изменения значений ледовитости по сравнению с предыдущей неделей для морей Южного океана за 13.10 - 19.10.2025 по данным наблюдений SSMR-SSM/I-SSMIS [13-17]

7258.9

18.10.1990

5763.6

13.10.1992

13-19.10

Регион	Южный Океан	Атлантический	Индоокеанский	Тихоокеанский
		сектор	сектор	сектор
Разность	-289.6	-130.5	25.0	-184.0
тыс.кв.км/сут.	-41.4	-18.6	3.6	-26.3

6415.1

6472.1

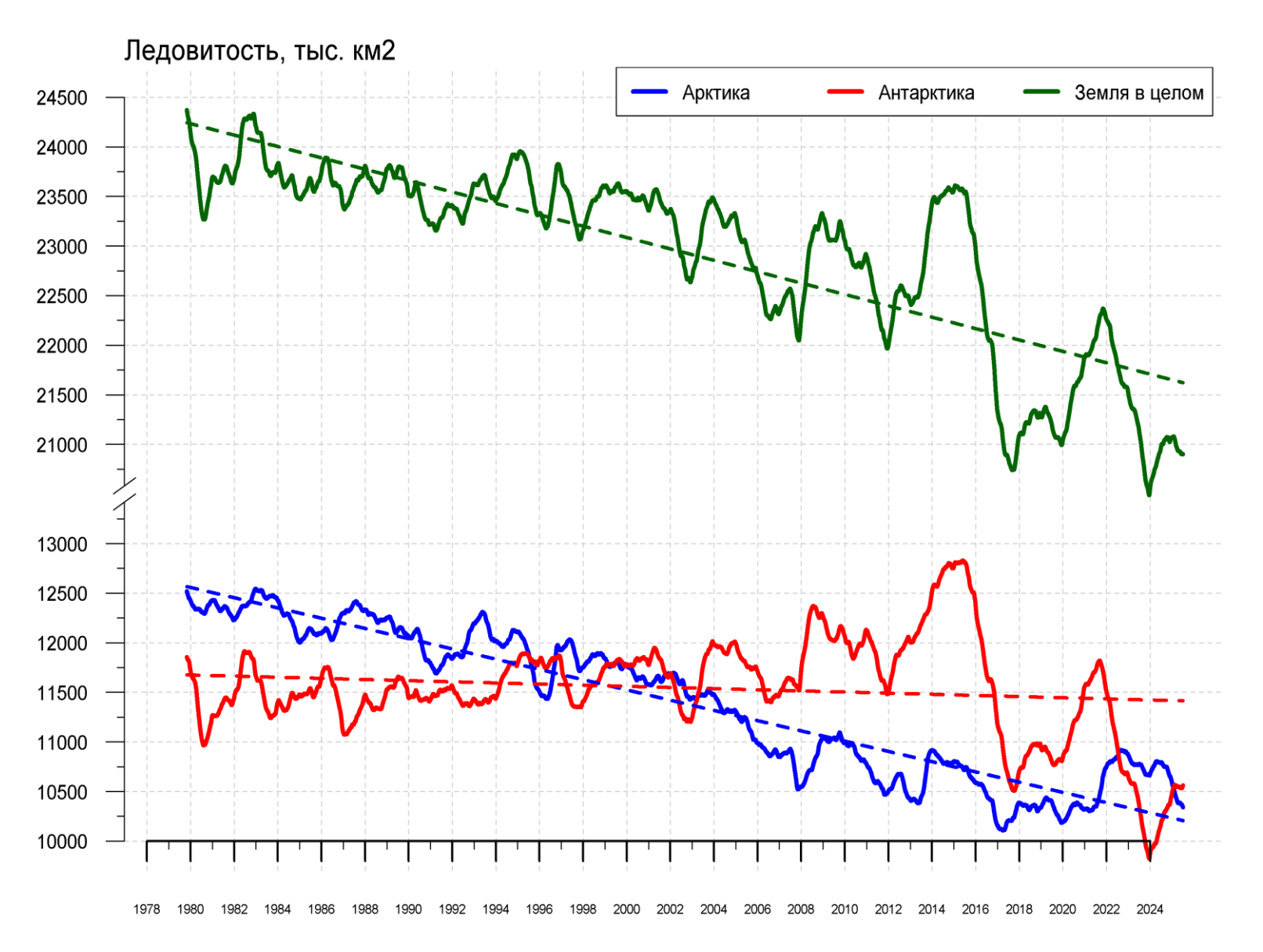


Рисунок 9 — Ежедневные сглаженные окном 365 суток значения ледовитости (площади распространения морского льда) Арктики, Антарктики и Земли в целом с 26.10.1978 по последний доступный срок на основе SSMR-SSM/I-SSMIS [13-17]

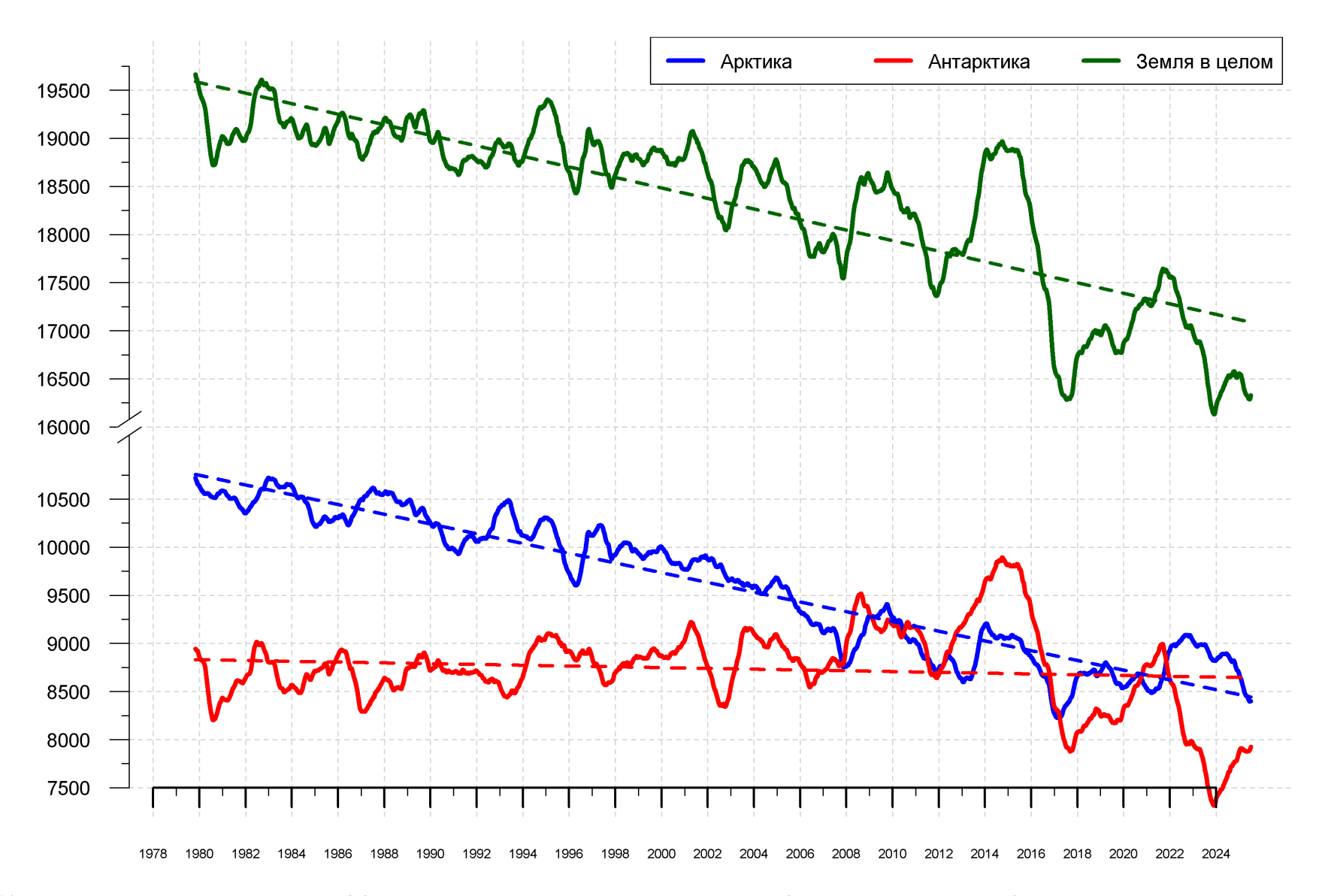


Рисунок 10 — Ежедневные сглаженные окном 365 суток значения приведенной ледовитости (площади морского льда) Арктики, Антарктики и Земли в целом с 25.10.1978 по последний доступный срок на основе SSMR-SSM/I-SSMIS [13-17]

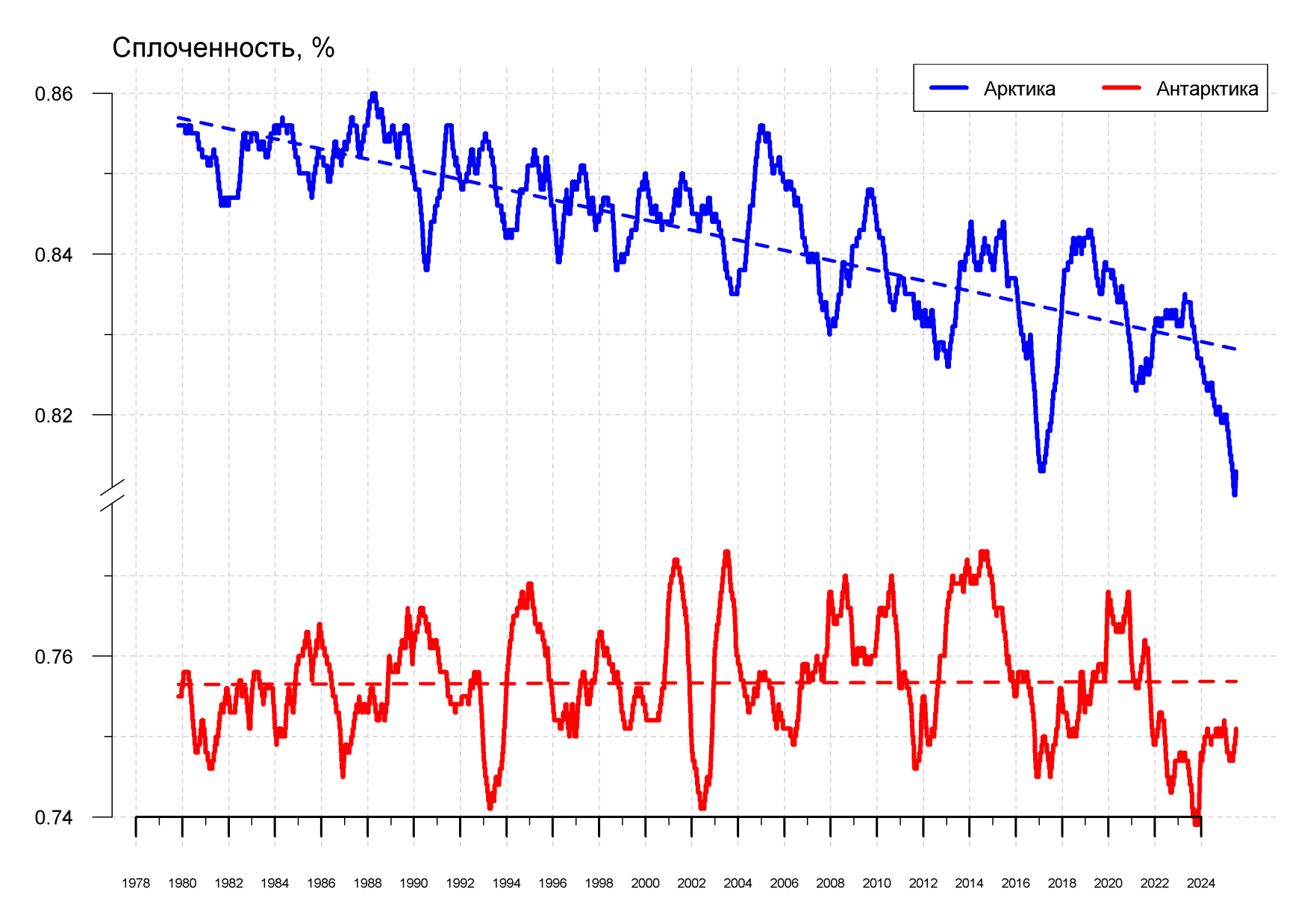


Рисунок 11 — Ежедневные сглаженные окном 365 суток значения средней общей сплоченности Арктики и Антарктики с 07.11.1978 по последний доступный срок на основе SSMR-SSM/I-SSMIS [13-17]

Приложение 1 — Статистические значения ледовитостей по отдельным акваториям Северной Полярной Области и Южного океана Таблица 8 — Средние, аномалии среднего и экстремальные значения ледовитостей для Северной и Южной полярных областей и её отдельных акваторий за текущие 7-дневный (неделя) и 30-дневный промежутки времени по данным наблюдений SSMR-SSM/I-SSMIS, алгоритм NASATEAM за период 1978-2024 гг. 13-19.10

	0	Аномалии, тыс км2/%					-	1978-2025гг				
Регион	S, тыс. км2	2007 г	2012 г	2022 г	2023 г	2024 г	2015-	1978-	Минимум	Максимум	Среднее	Медиана
	KIVIZ						2025гг	2025гг	дата	дата	Среднее	тиедиана
Сев. полярная	6312.3	581.9	738.0	-462.9	-59.9	602.4	134.8	-1458.9	5000.6	9940.3	7771.1	8122.9
область	0512.5	10.2	13.2	-6.8	-0.9	10.5	2.2	-18.8	13.10.2012	19.10.1982	7771.1	0122.9
Сектор 45°W-	1069.2	-629.3	-327.1	-322.6	-539.5	-168.5	-281.0	-790.9	993.9	2819.3	1860.1	1830.5
95°E	1009.2	-37.1	-23.4	-23.2	-33.5	-13.6	-20.8	-42.5	14.10.2025	17.10.1982	1000.1	1030.3
Гренландское	305.5	-203.6	-140.7	-63.7	-139.4	-6.8	-46.4	-124.8	193.6	637.1	430.3	432.9
море	303.3	-40.0	-31.5	-17.3	-31.3	-2.2	-13.2	-29.0	16.10.2017	18.10.1981	430.3	432.9
Баренцево море	7.3	-25.1	-2.5	-11.6	-29.1	-2.5	-7.9	-116.6	0.0	495.2	123.9	83.7
варенцево море	7.5	-77.5	-25.4	-61.4	-79.9	-25.8	-52.0	-94.1	14.10.2012	17.10.1982	120.9	03.1
Карское море	13.9	-119.8	0.2	-19.5	-126.5	-38.9	-59.6	-318.9	8.1	839.2	8 332.8	317.6
Карское море	13.9	-89.6	1.1	-58.4	-90.1	-73.7	-81.1	-95.8	16.10.2012	17.10.1998		017.0
Сектор 95°Е-	2187.3	936.9	360.5	-148.5	-40.7	-13.2	195.7	-519.0	950.4	3417.4	2706.3	2952.9
170°W	2107.5	74.9	19.7	-6.4	-1.8	-0.6	9.8	-19.2	13.10.2020	16.10.1983		2902.9
Море Лаптевых	222.0	-221.9	55.4	-140.3	-160.2	-51.2	-47.2	-284.0	17.1	674.3	506.0	641.5
тиоре лаптевых	222.0	-50.0	33.3	-38.7	-41.9	-18.7	-17.5	-56.1	13.10.2020	13.10.1979	300.0	
Восточно-	455.4	397.2	258.2	-51.1	184.9	158.3	134.1	-192.0	5.0	915.1	1982 647.4	771.5
Сибирское море	455.4	683.6	130.9	-10.1	68.3	53.3	41.8	-29.7	19.10.2020	13.10.1982		
Чукотское море	152.6	143.9	43.5	127.1	60.1	-16.5	86.1	-7.4	1.8	475.6	160.0	116.6
чукотское море	132.0	1657.1	39.9	498.5	65.0	-9.8	129.5	-4.6	13.10.2005	19.10.1983	100.0	110.0
Берингово море	4.7	-4.2	-0.4	-5.5	-1.6	-5.8	-6.1	-15.4	1.2	77.7	20.1	16.2
верингово море	4.7	-47.0	-7.1	-54.1	-25.8	-55.1	-56.5	-76.7	14.10.2025	19.10.2004	20.1	10.2
Сектор 170°W-	3055.8	274.3	704.6	8.2	520.2	784.1	220.2	-149.0	2161.5	4199.4	3204.8	3213.9
45°W	3033.0	9.9	30.0	0.3	20.5	34.5	7.8	-4.7	13.10.2024	19.10.1983	3204.0	3213.9
Море Бофорта	253.3	-29.6	207.9	33.9	154.0	223.0	39.1	-68.2	7.1	486.6	321.6	320.6
тиоре вофорта	200.0	-10.5	457.8	15.4	154.9	735.7	18.3	-21.2	13.10.2024	13.10.1985	021.0	020.0
Гудзонов залив	14.0	-2.3	4.1	-9.7	-1.7	-0.8	-5.0	-11.3	6.6	101.2	25.3	21.0
т удзопов залив	14.0	-14.0	41.4	-40.9	-10.8	-5.5	-26.2	-44.7	16.10.2012	13.10.1997	25.5	21.0
Море Лабрадор	0.0	-9.3	0.0	0.0	0.0	-0.4	-0.1	-8.6	0.0	37.6	8.6	6.8
тиоре лаорадор	0.0	-100.0	-	-	-	-100.0	-100.0	-100.0	13.10.2011	16.10.1994	0.0	0.0
Дейвисов пролив	10.4	-3.1	-3.6	0.7	0.9	-1.4	0.4	-5.5	3.6	82.1	15.9	11.6
деивисов пролив	10.7	-22.7	-25.6	7.4	9.5	-11.9	3.6	-34.6	14.10.2005	18.10.1983	10.9	11.0
Канадский	492.6	-48.5	1.2	-54.8	155.4	257.6	-45.6	-175.3	199.9	968.7	667.9	694.0
архипелаг	492.0	-9.0	0.2	-10.0	46.1	109.7	-8.5	-26.2	13.10.2024	19.10.1983	007.9	094.0

20.09-19.10

	0	Аномалии, тыс км2/%					10	1978-2025гг				
Регион км	S, тыс.	2007 -	2042 -				2015-	1978-	Минимум	Максимум	C===::==	Manualla
	KM∠	2007 г	2012 г	2022 г	2023 г	2024 г	2025гг	2025гг	дата	дата	Среднее	Медиана
Сев. полярная	5686.1	767.3	1284.2	-122.0	375.0	620.7	315.1	-1111.6	3529.5	9940.3	6797.7	6800.8
область	3000.1	15.6	29.2	-2.1	7.1	12.3	5.9	-16.4	20.09.2012	19.10.1982	0191.1	0800.8
Сектор 45°W-	1016.5	-521.1	-211.4	-277.0	-448.8	-133.7	-207.7	-595.3	789.7	2819.3	1611.9	1548.4
95°E	1010.5	-33.9	-17.2	-21.4	-30.6	-11.6	-17.0	-36.9	22.09.2013	17.10.1982	1011.9	1340.4
Гренландское	221.3	-248.3	-170.7	-100.1	-166.2	-24.9	-65.5	-147.9	78.6	637.1	369.3	383.4
море	221.0	-52.9	-43.5	-31.1	-42.9	-10.1	-22.8	-40.1	20.09.2021	18.10.1981	000.0	000.4
Баренцево море	4.0	-14.8	-2.3	-6.6	-17.3	-5.2	-4.9	-75.4	0.0	495.2	79.4	35.4
варенцево море	4.0	-78.6	-36.4	-62.2	-81.1	-56.4	-54.9	-94.9	20.09.2015	17.10.1982	7 0.4	00.4
Карское море	14.7	-44.6	1.9	-11.1	-50.0	-12.1	-22.9	-201.7	2.5	839.2	216.5	149.0
	17.7	-75.2	14.6	-43.0	-77.2	-45.2	-60.8	-93.2	01.10.1995	17.10.1998		149.0
Сектор 95°Е-	1990.4	1042.6	757.8	155.9	365.8	190.2	365.8	-289.2	693.2	3439.3	2279.6	2296.8
170°W	1000.4	110.0	61.5	8.5	22.5	10.6	22.5	-12.7	26.09.2007	08.10.1983		2290.0
Море Лаптевых	176.1	-127.6	115.5	-64.3	-101.6	-3.2	11.7	-170.0	6.4	674.3	346.1	309.0
·	170.1	-42.0	190.8	-26.8	-36.6	-1.8	7.1	-49.1	01.10.2020	23.09.1996	040.1	
Восточно-	323.2	305.6	270.7	52.5	238.7	199.0	152.4	-147.6	1.9	915.1	470.8	473.0
Сибирское море	020.Z	1743.1	516.0	19.4	282.6	160.2	89.3	-31.4	02.10.2007	06.10.1983		47 5.0
Чукотское море	100.4	92.9	70.1	90.1	71.5	8.0	60.3	-25.3	0.0	475.6	125.7	80.0
Tykorokoc Wope	100.4	1234.2	231.6	875.6	246.9	8.0	150.6	-20.1	25.09.2003	19.10.1983	120.7	00.0
Берингово море	9.6	-0.2	5.2	0.3	2.5	-2.6	-1.8	-5.4	0.0	92.1	15.0	10.2
	3.0	-1.7	120.0	3.7	34.5	-21.2	-15.6	-36.1	20.09.2003	12.10.1993	10.0	10.2
Сектор 170°W-	2679.2	245.9	737.8	-1.0	458.0	564.2	157.0	-227.0	1666.3	4199.4	2906.2	2955.6
45°W	2070.2	10.1	38.0	0.0	20.6	26.7	6.2	-7.8	20.09.2012	19.10.1983	2000.2	2000.0
Море Бофорта	169.4	-23.5	148.1	10.5	109.7	161.3	25.2	-85.3	0.0	486.6	254.7	239.6
тиоре вофорта	100.4	-12.2	696.5	6.6	183.5	1983.8	17.5	-33.5	20.09.2024	29.09.1996	204.7	200.0
Гудзонов залив	13.1	-6.9	2.7	-3.9	-3.8	-3.9	-2.3	-10.3	2.3	156.7	23.4	19.2
т удзопов залив	10.1	-34.5	25.8	-22.8	-22.7	-23.2	-14.7	-44.0	01.10.2015	05.10.1990	20.4	10.2
Море Лабрадор	0.1	-7.9	0.1	0.0	0.1	-0.1	0.0	-6.6	0.0	43.8	6.7	4.2
тиоре лаорадор	0.1	-99.0	-	91.7	-	-43.9	53.3	-98.9	20.09.2004	10.10.1993	0.7	7.2
Дейвисов пролив	12.2	0.9	-2.7	1.8	1.2	-0.9	8.0	-4.0	3.0	82.1	16.3	12.7
демвисов пролив	14.4	7.9	-18.0	17.6	11.1	-7.2	7.1	-24.8	11.10.1991	18.10.1983	10.0	12.1
Канадский	393.2	-39.8	85.3	-31.9	101.8	152.7	-60.2	-168.0	182.4	968.7	561.2	574.3
архипелаг	000.2	-9.2	27.7	-7.5	34.9	63.5	-13.3	-29.9	01.10.2012	19.10.1983	JU 1.2	574.5

13-19.10

	0	Аномалии, тыс км2/%							1978-2025гг				
Регион	S, тыс. км2	2007 г	2012 г	2022 г	2023 г	2024 г	2015- 2025гг	1978- 2025гг	Минимум дата	Максимум дата	Среднее	Медиана	
10 × 0	47047.4	-1644.7	-1670.2	-488.3	890.2	231.1	-555.8	-1090.5	16082.0	19319.2	10107.5	101100	
Южный Океан	17017.1	-8.8	-8.9	-2.8	5.5	1.4	-3.2	-6.0	19.10.2023	15.10.2013	18107.5	18118.2	
Атлантический	7011.4	-562.3	-393.1	290.4	1022.3	685.1	117.6	-117.6	5926.1	8312.8	7129.0	7149.9	
сектор	7011.4	-7.4	-5.3	4.3	17.1	10.8	1.7	-1.6	19.10.2023	13.10.1980	7129.0	7 149.9	
Западная часть	2242.3	-82.3	-5.4	152.5	-3.7	-90.7	10.6	-36.4	1915.3	2927.4 2278.6	2279.6	2261.1	
моря Уэдделла	2242.3	-3.5	-0.2	7.3	-0.2	-3.9	0.5	-1.6	19.10.2001	13.10.1980	0.1980	2201.1	
Восточная часть	4769.1	-480.0	-387.7	137.9	1026.0	775.9	107.1	-81.2	3694.5	5678.4	0.1992 4850.4	4886.8	
моря Уэдделла	4709.1	-9.1	-7.5	3.0	27.4	19.4	2.3	-1.7	19.10.2023	15.10.1992		4000.0	
Индоокеанский	3818.5	-343.5	-1059.6	-197.7	-281.1	-328.1	-432.2	-687.9	3778.9	5240.0	4506.4	4476.8	
сектор	3010.5	-8.3	-21.7	-4.9	-6.9	-7.9	-10.2	-15.3	19.10.2025	13.10.1982	4300.4	4470.0	
Море	902.8	-107.5	-336.9	-366.2	-300.0	-8.7	-269.4	-338.9	846.0	1675.6	1241.7	1232.6	
Космонавтов	902.0	-10.6	-27.2	-28.9	-24.9	-1.0	-23.0	-27.3	19.10.2025	16.10.2010	1241.7	1232.0	
Море	1050.3	-470.1	-596.3	-415.4	-368.0	-386.0	-365.6	-487.0	1025.9	1838.9	1537.3	1538.6	
Содружества	1030.3	-30.9	-36.2	-28.3	-25.9	-26.9	-25.8	-31.7	19.10.2025	18.10.2014	1557.5	1556.0	
Море Моусона	1865.4	234.1	-126.3	583.9	387.0	66.6	202.8	138.0	1065.4	2254.3	1727.4	1733.2	
іморе імоусона	1000.4	14.4	-6.3	45.6	26.2	3.7	12.2	8.0	16.10.1989	18.10.1993	1727.4	1733.2	
Тихоокеанский	6187.2	-739.0	-217.5	-581.0	149.0	-125.9	-241.2	-284.9	5763.6	7258.9	6472.4	6415.1	
сектор	0107.2	-10.7	-3.4	-8.6	2.5	-2.0	-3.8	-4.4	13.10.1992	18.10.1990	6472.1	0413.1	
Mono Pocco	5568.8	-599.4	27.9	-637.4	779.2	602.7	131.2	71.0	4745.0	6244.9	5497.7	5437.2	
Mope Pocca	5500.6	-9.7	0.5	-10.3	16.3	12.1	2.4	1.3	13.10.1987	14.10.2022	3487.7 3437.	3431.2	
Море	618.4	-139.6	-245.4	56.5	-630.2	-728.6	-372.4	-356.0	490.4	1473.3	974.4	995.3	
Беллинсгаузена	010.4	-18.4	-28.4	10.0	-50.5	-54.1	-37.6	-36.5	17.10.1998	19.10.1994	914.4	993.3	

20.09-19.10

		Аномалии, тыс км2/% 1978-2025гг										
Регион	Ѕ, тыс.						2015-	1978-	Минимум	Максимум		
	км2	2007 г	2012 г	2022 г	2023 г	2024 г	2015-	2025гг	дата	дата	Среднее	Медиана
		-1452.0	-1706.7	-473.0	865.8	417.8	-432.6	-968.0	16082.0	дата 20162.6		
Южный Океан	17385.5	-7.7	-8.9	-2.6	5.2	2.5	-2.4	-5.3	19.10.2023	20.09.2014	18353.5	18383.0
Атлантический		-639.9	-413.9	243.4	787.8	789.7	122.2	-142.1	5926.1	8384.7		
Сектор	7121.2	-8.2	-5.5	3.5	12.4	12.5	1.7	-2.0	19.10.2023	24.09.1980	7263.4	7269.2
Западная часть		-159.4	-75.5	147.2	-71.3	-32.1	-1.1	-92.0	1915.3	3235.0		
моря Уэдделла	2262.0	-6.6	-3.2	7.0	-3.1	-1.4	0.0	-3.9	19.10.2001	24.09.1980	2354.1	2333.0
Восточная часть		-480.5	-338.4	96.2	859.2	821.8	123.3	-50.1	3694.5	5739.9		
моря Уэдделла	4859.2	-460.5	-6.5	2.0	21.5	20.4	2.6	-1.0	19.10.2023	04.10.1992	4909.3	4942.2
			-1073.2							5361.3		
Индоокеанский	3899.8	-301.5		-272.6	-175.9	-288.6	-427.6	-643.6	3731.4		4543.5	4508.3
сектор		-7.2	-21.6	-6.5	-4.3	-6.9	-9.9	-14.2	08.10.2025	08.10.1993	+	
Mope	959.1	-73.0	-262.8	-295.0	-174.3	58.5	-219.2	-274.8	829.3	1675.6	1233.9	1230.1
Космонавтов		-7.1	-21.5	-23.5	-15.4	6.5	-18.6	-22.3	21.09.2024	16.10.2010		1230.1
Море	1124.0	-436.2	-524.3	-303.8	-355.8	-349.3	-301.4	-414.9	1000.0	1934.1	1538.9	1540.6
Содружества	1124.0	-28.0	-31.8	-21.3	-24.0	-23.7	-21.1	-27.0	09.10.2025	25.09.2014	1000.0	1040.0
Море Моусона	1816.7	207.7	-286.1	326.1	354.2	2.2	93.0	46.1	1057.1	2420.1	1770.7	1777.0
тиоре тиоусона	1010.7	12.9	-13.6	21.9	24.2	0.1	5.4	2.6	12.10.1989	01.10.1982	1770.7	1///.0
Тихоокеанский	6364.4	-510.6	-219.6	-443.8	253.9	-83.2	-127.2	-182.3	5651.0	7406.7	6546.7	6529.2
сектор	0304.4	-7.4	-3.3	-6.5	4.2	-1.3	-2.0	-2.8	08.10.1987	21.09.2013	6546.7	6528.2
Mana Daga-	ECAE C	-630.2	-87.1	-587.6	786.4	633.2	206.3	132.8	4481.0	6457.4	EE40.7	E407.0
Mope Pocca	5645.6	-10.0	-1.5	-9.4	16.2	12.6	3.8	2.4	08.10.1987	02.10.2007	5512.7 5497.3	
Море	740.0	119.6	-132.5	143.8	-532.5	-716.4	-333.5	-315.1	490.4	1821.3	4000.6	4047.0
Беллинсгаузена	718.8	20.0	-15.6	25.0	-42.6	-49.9	-31.7	-30.5	17.10.1998	20.09.2015	1033.9	1047.8

Таблица 10 – Динамика изменения значений ледовитости по сравнению с предыдущей неделей для морей Северной полярной области и Южного океана за текущий 7-дневный (неделя) промежуток времени по данным наблюдений SSMIS

4	3-	40	. 1	Λ
- 1	.3-	19	1	()

•		13-19.1	0	
Регион	Сев. полярная область	Сектор 45°W-95°E	Гренландское море	Баренцево море
Разность	279.8	101.3	94.8	3.7
тыс.кв.км/ сут.	40.0	14.5	13.5	0.5
<u> </u>		13-19.1	0	•
Регион	Карское море	Сектор 95°E-170°W	Море Лаптевых	Восточно-Сибирское море
Разность	-0.9	110.8	40.0 5.7	78.7
тыс.кв.км/ сут.	-0.1	15.8		11.2
		13-19.1		
Регион	Чукотское море	Берингово море	Сектор 170°W-45°W	Море Бофорта
Разность	39.7	-14.5	67.7	33.7
тыс.кв.км/	5.7	-2.1	9.7	4.8
		13-19.1	0	
Регион	Гудзонов залив	Море Лабрадор	Дейвисов пролив	Канадский архипелаг
Разность	0.4	0.0	-2.3 -0.3	37.0
тыс.кв.км/	0.1	0.0	-0.3	5.3
		13-19.1	0	
Регион	Южный Океан	Атлантический сектор	Западная часть моря Уэдделла	Восточная часть моря Уэдделла
Разность	-289.6	-130.5	15.4	-145.9
тыс.кв.км/ сут.	-41.4	-18.6	2.2	-20.8
<u> </u>		13-19.1	0	
Регион	Индоокеанский сектор	Море Космонавтов	Море Содружества	Море Моусона
Разность	25.0	-6.8	10.1	21.8
тыс.кв.км/ сут.	3.6	-1.0	1.4	3.1
		13-19.1	0	•
Регион	Тихоокеанский сектор	Mope Pocca	Море Беллинсгаузена	
Разность	-184.0	-97.2	-86.9	
тыс.кв.км/ сут.	-26.3	-13.9	-12.4	

Характеристика исходного материала и методика расчетов

Для иллюстрации ледовых условий Арктического региона представлены совмещенные региональные карты ААНИИ [4, 6], Канадской ледовой службы – КЛС [12], Национального ледового центра США – НЛЦ [10], Ледовой службы отделения Аляска НОАА [23] и НИЦ Планета [9]. Совмещение карт выполнено путем перекрытия слоев отдельных ледовых служб в зависимости от времени ледового анализа. Карты ААНИИ характеризуют ледовые условия морей Гренландского...Бофорта, карты НИЦ Планета – Азовского, Каспийского, Берингова, Охотского, Японского, карты НЛЦ – Северных частей Тихого и Атлантического океанов и Арктического бассейна, вод Гренландии, Ледовой службы отделения Аляска НОАА – Берингово, Чукотское моря, КЛС - морей Бофорта, Канадского архипелага, Баффина, Девисова пролива, Лабрадор, Св. Лаврентия. Для ледовых условий и распределения айсбергов Южного океана использованы данные проекта по интегрированному ледовому анализу Южного океана – циркумполярные карты ААНИИ [5, 7], НЛЦ [10, 11] и карты акватории Антарктического полуострова Норвежского метеорологического института (НМИ) [21]. Для построения совмещенных карт используется архив данных в обменном формате ВМО СИГРИД-3 [18] Мирового центра данных по морскому льду (МЦД МЛ) – проекта ВМО «Глобальный Банк Цифровых Данных по Морскому Льду». В пределах отдельного срока выборка карт из архива проводится по критериям близости карт к сроку выпуска карты ААНИИ с максимальным интервалом времени между картами до 7 суток (день недели выпуска карт ААНИИ – вторник, Ледовой службы отделения Аляска НОАА – ежедневно, НИЦ Планета – понедельник-четверг, КЛС – понедельник, НЛЦ – четверг/пятница для морского льда и четверг/пятница – для крупных айсбергов Южного океана, НМИ понедельник).

Для иллюстрации полей толщин льда СЛО использованы ежедневные данные по распределению средневзвешенной толщины льда численной модели HYCOM-CICE Датского метеорологического института (ДМИ) [20]. Численная модель HYCOM-CICE имеет разрешение 10х10 км и является совместной моделью морского льда — океана. Портал полярных данных ДМИ [22] используется также как источник данных по оценке объема льда СЛО, температуры поверхности океана/морского льда, аномалий температуры воздуха и поля приземного ветра.

Для иллюстрации ледовых условий Северной Полярной области и Южного океана за последние сутки используются ежедневные циркумполярные ледовые информационные продукты НЛЦ США по оценке расположения кромки льда и ледяных массивов - MIZ (Marginal Ice Zone).

Для цветовой окраски карт использован стандарт ВМО (WMO/Td. 1215) [19] для зимнего (по возрасту) и летнего (по общей сплоченности) периодов. Следует также отметить, что в зонах стыковки карт ААНИИ, Ледовой службы отделения Аляска НОАА, КЛС и НЛЦ наблюдается определенная несогласованность границ и характеристик ледовых зон вследствие ряда различий в ледовых информационных системах подготавливающих служб. Однако, данная несогласованность несущественна для целей интерпретации ледовых условий в рамках настоящего обзора.

Для оценки распределения толщин льда в морях СМП использованы совмещенные недельные данные дистанционного зондирования ИСЗ Cryosat-2 и Sentinel-3A,В (радиолокационная альтиметрия) и SMOS (пассивное микроволновое зондирование), подготавливаемые Институтом полярных исследований им. А.Вегенера (AWI) [24].

Для получения оценок ледовитости (extent) и приведенной ледовитости – площади льда (area) отдельных секторов, морей, частей морей Северной полярной области и Южного океана и климатического положения кромок заданной повторяемости на основе данных спутниковых систем пассивного микроволнового зондирования SSMR-SSM/I-SSMIS [17] в МЦД МЛ ААНИИ принята следующая технология расчетов:

 источник данных – архивные (Cavalieri et al., 2008, Meier et al., 2006) и квазиоперативные (Maslanik and Stroeve, 1999) с задержкой 1-2 дня ежедневные матрицы (поля распределения) оценок общей сплоченности Северной (севернее 45° с.ш.) и Южной (южнее 50° с.ш.) Полярных областей на основе обработанных по алгоритму NASATEAM данных многоканальных микроволновых радиометров SSMR-SSM/I-SSMIS ИСЗ NIMBUS-7 и DMSP за период с 26.10.1978 г. по настоящий момент времени [13, 14, 15], копируемые с сервера НЦДСЛ;

- область расчета Северная и Южная Полярные области и их регионы с использованием масок океан/суша НЦДСЛ (http://nsidc.org/data/polar_stereo/tools_masks.html);
- границы используемых масок расчета отдельных меридиональных секторов, морей, частей морей Северной полярной области и Южного океана представлены на рисунках П1 П6 в полярной равноплощадной проекции Ламберта [26], не совпадают с используемыми в НЦДСЛ масками для отдельных акваторий Мирового океана и основаны на цифровой основе Международной гидрографической организации [25], повторяющей по номенклатуре, но не совпадающей по границам (вследствие отсутствия цифроосновы) публикациям «Атлас Северного ледовитого океана (1980)» и «Атлас океанов» [1, 2, 3].
- вычислительные особенности расчета авторское программное обеспечение ААНИИ с сохранением точности расчетов и оценке статистических параметров по гистограмме распределения и свободно-распространяемое программное обеспечение GDAL для векторизации полей климатических параметров;

В графическом формате PNG совмещенные карты ААНИИ-КЛС-НЛЦ Ледовой службы отделения Аляска HOAA доступны по адресу http://wdc.aari.ru/datasets/d0040.

Результаты расчетов ледовитости Северной, Южной полярных областей, их отдельных меридиональных секторов, морей и частей морей доступны на сервере МЦД МЛ ААНИИ в каталогах соответственно http://wdc.aari.ru/datasets/ssmi/data/north/extent/ и http://wdc.aari.ru/datasets/ssmi/data/south/extent/.

Оценки толщины льда основаны на совмещенных альтиметрических и пассивных микроволновых данных ИСЗ CryoSAT-2, SMOS и Sentinel-3 [27], описание алгоритма обработки приведено в [28].

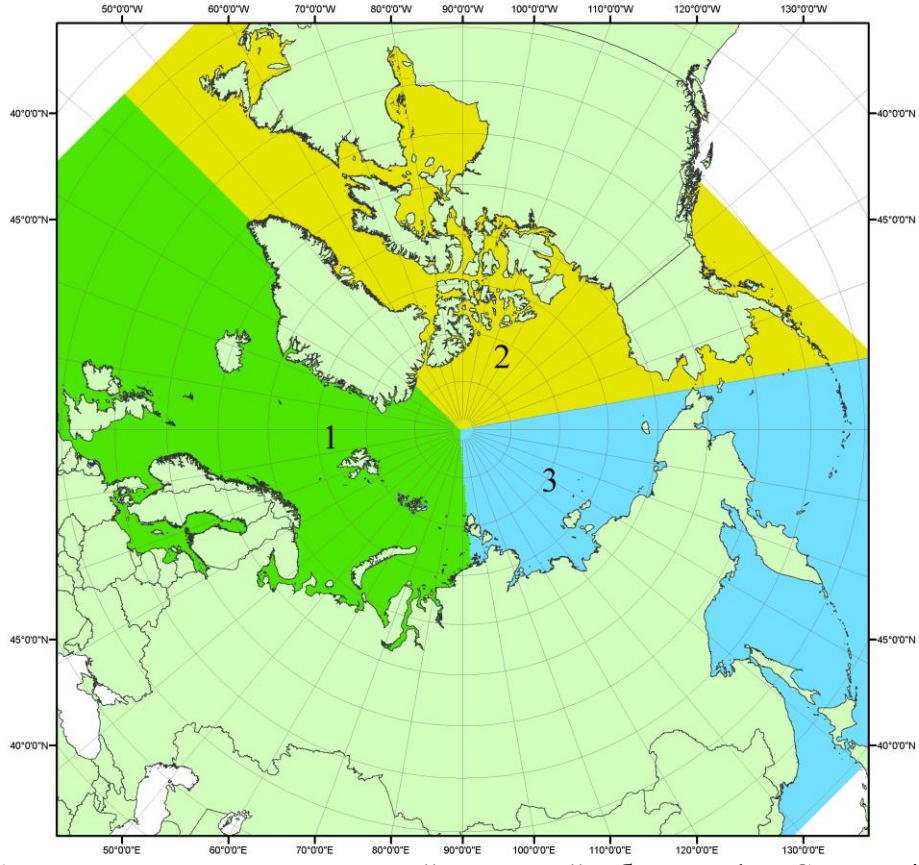


Рисунок П1 — Секторальное деление северной полярной области. 1 - Сектор 45° W- 95° E (Гренландское - Карское моря); 2 - Сектор 170° W- 45° W (море Бофорта и Канадская Арктика); 3 - Сектор 95° E- 170° W (моря Лаптевых - Чукотское, Берингово, Охотское, Японское)

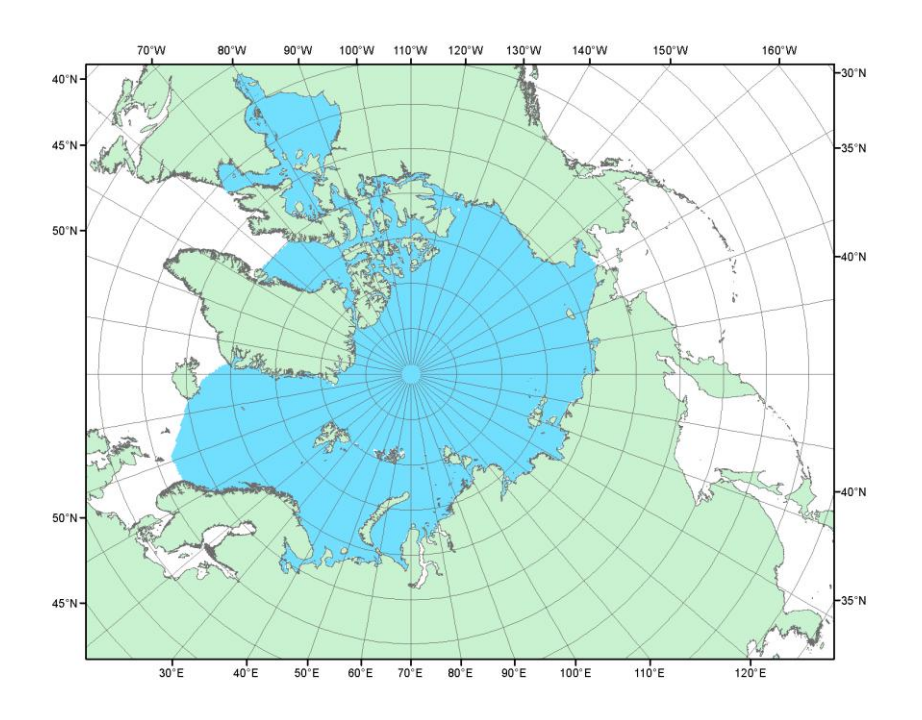


Рисунок П2 – Северный ледовитый океан в официальных границах

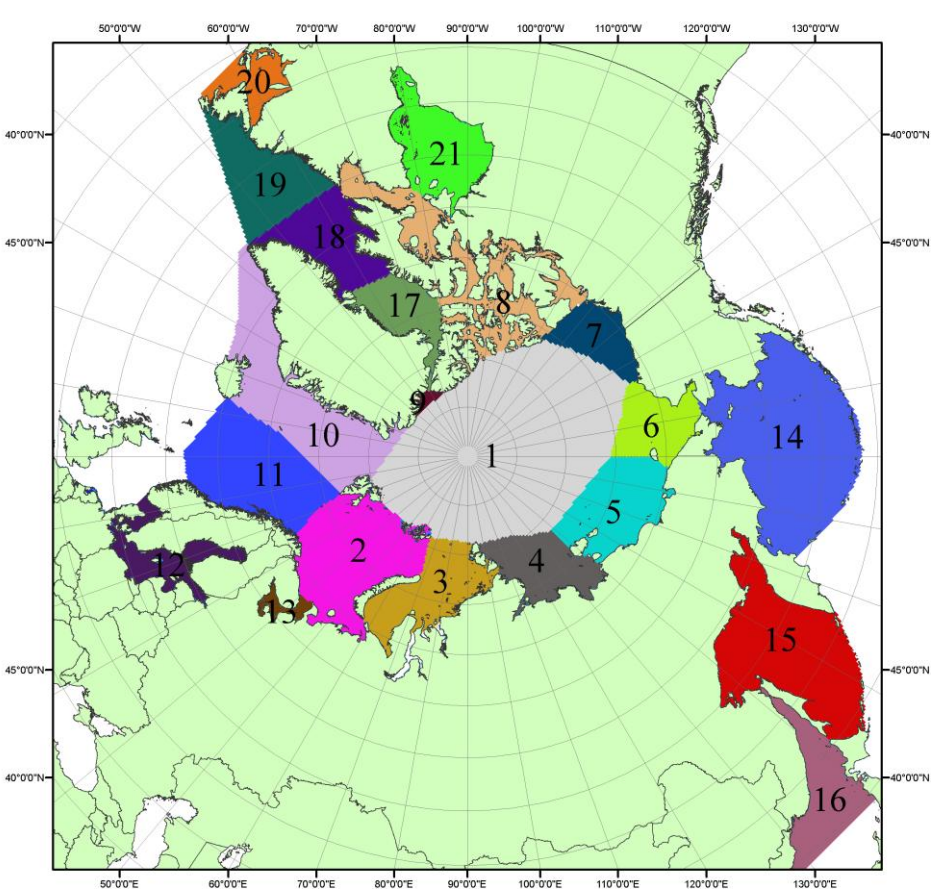


Рисунок ПЗ — Моря северной полярной области. 1 — Арктический бассейн; 2- Баренцево море; 3 — Карское море; 4 — море Лаптевых; 5 - Восточно-Сибирское море; 6 — Чукотское море; 7 — море Бофорта; 8 — Канадский архипелаг; 9 — море Линкольна; 10 — Гренландское море; 11 — Норвежское море; 12 — Балтийское море; 13 — Белое море; 14 — Берингово море; 15 — Охотское море; 16 — Японское море; 17 — море Баффина; 18 — Дейвисов пролив; 19 — море Лабрадор; 20 — залив Святого Лаврентия; 21 — Гудзонов залив.

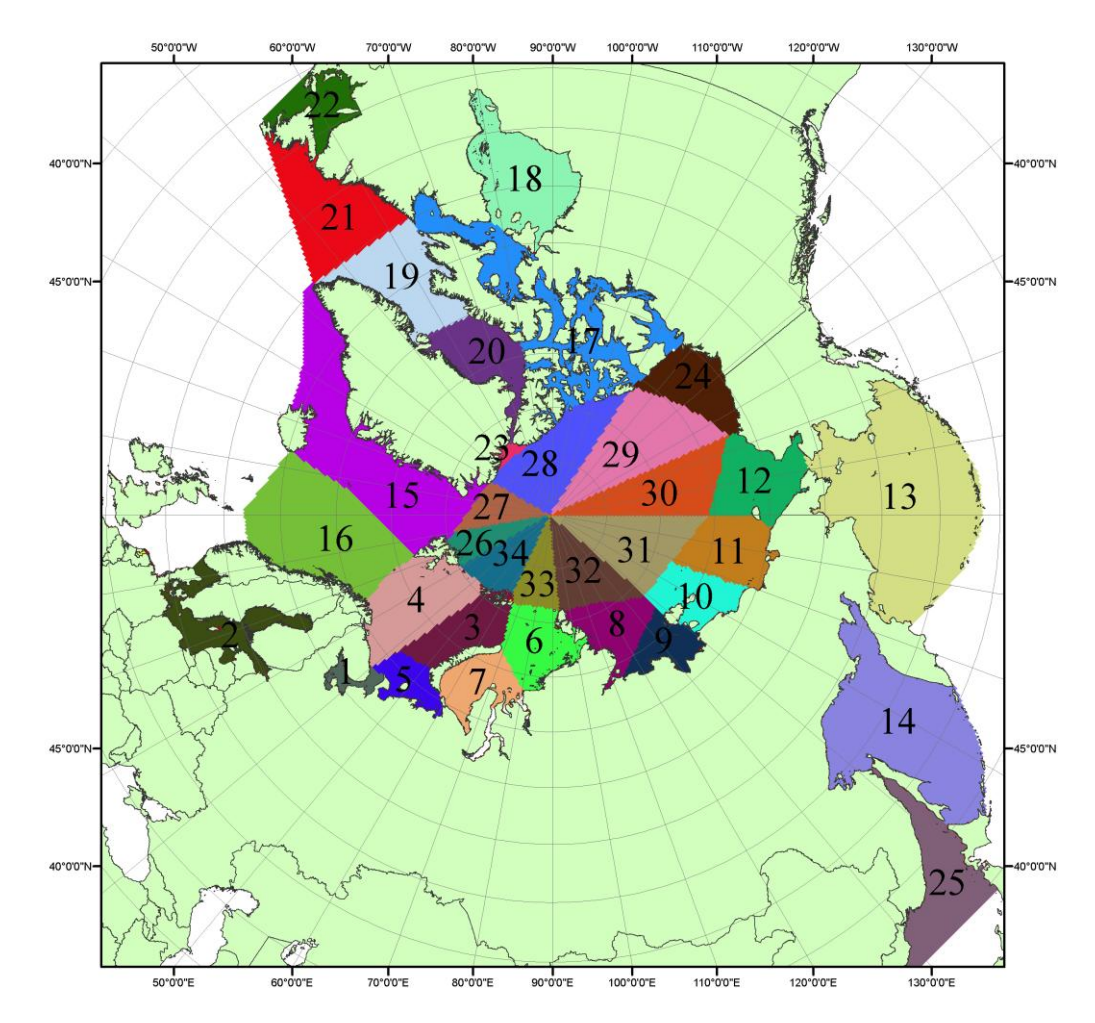


Рисунок П4 — Сектора и моря северной полярной области. 1 - Белое море; 2- Балтийское море; 3 — Баренцево море (СВ); 4 — Баренцево море (3); 5 - Баренцево море (ЮВ); 6 — Карское море (СВ); 7 — Карское море (ЮЗ); 8 — море Лаптевых (В); 9 — море Лаптевых (З); 10 — Восточно-Сибирское море (З); 11 — Восточно-Сибирское море (В); 12 — Чукотское море; 13 — Берингово море; 14 — Охотское море; 15 — Гренландское море; 16 — Норвежское море; 17 — Канадский архипелаг; 18 — Гудзонов залив; 19 — Дейвисов пролив; 20 - море Баффина; 21 — море Лабрадор; 22 - залив Святого Лаврентия; 23 - море Линкольна; 24 - море Бофорта; 25 - Японское море; 26 - сектор АО (30°з.д. — 10°в.д.); 27 — сектор АО (10°в.д. — 30°в.д.); 28 - сектор АО (30°в.д. — 65°в.д.); 29 - сектор АО (65°в.д. — 96°в.д.); 30 - сектор АО (96°в.д. — 140°в.д.); 31 - сектор АО (140°в.д. — 180°в.д.); 32 - сектор АО (180°в.д. — 156°з.д.); 33 - сектор АО (156°з.д. — 123°з.д.); 34 - сектор АО (123°з.д. — 30°з.д.).

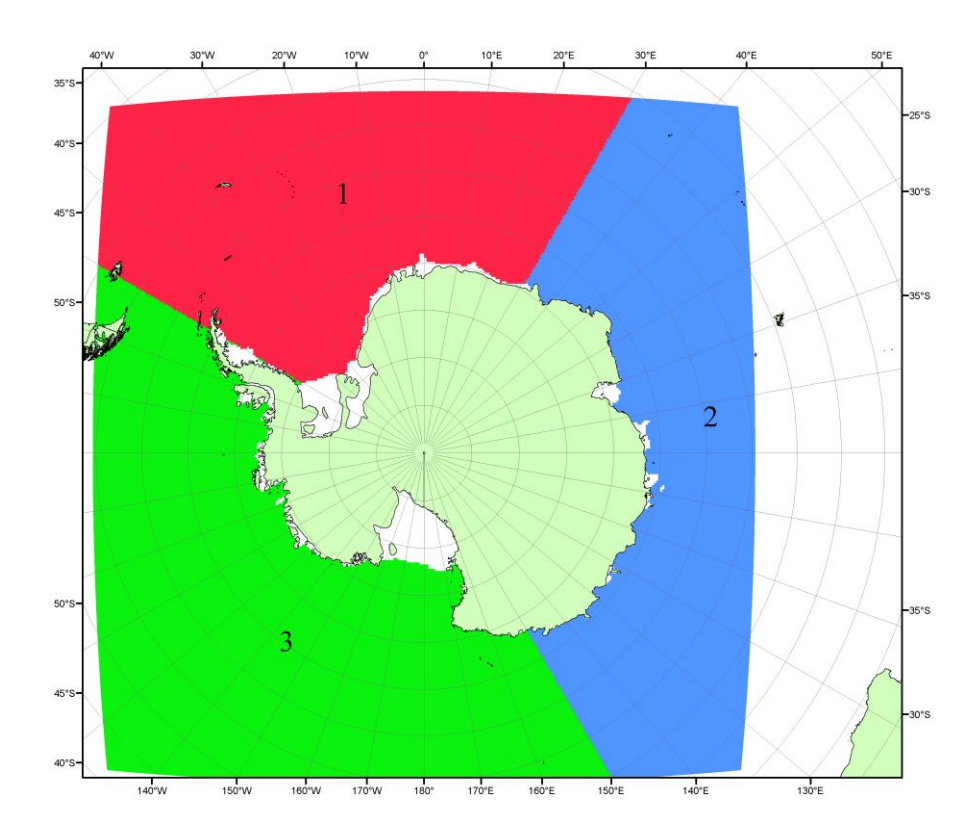


Рисунок П5 — Секторальное деление Южного океана. 1 - Атлантический сектор (60° W- 30° E, море Уэдделла); 2 - Индоокеанский сектор (30° E- 150° E, моря Космонавтов, Содружества, Моусона); 3 - Тихоокеанский сектор (150° E- 60° W, моря Росса, Беллинсгаузена)

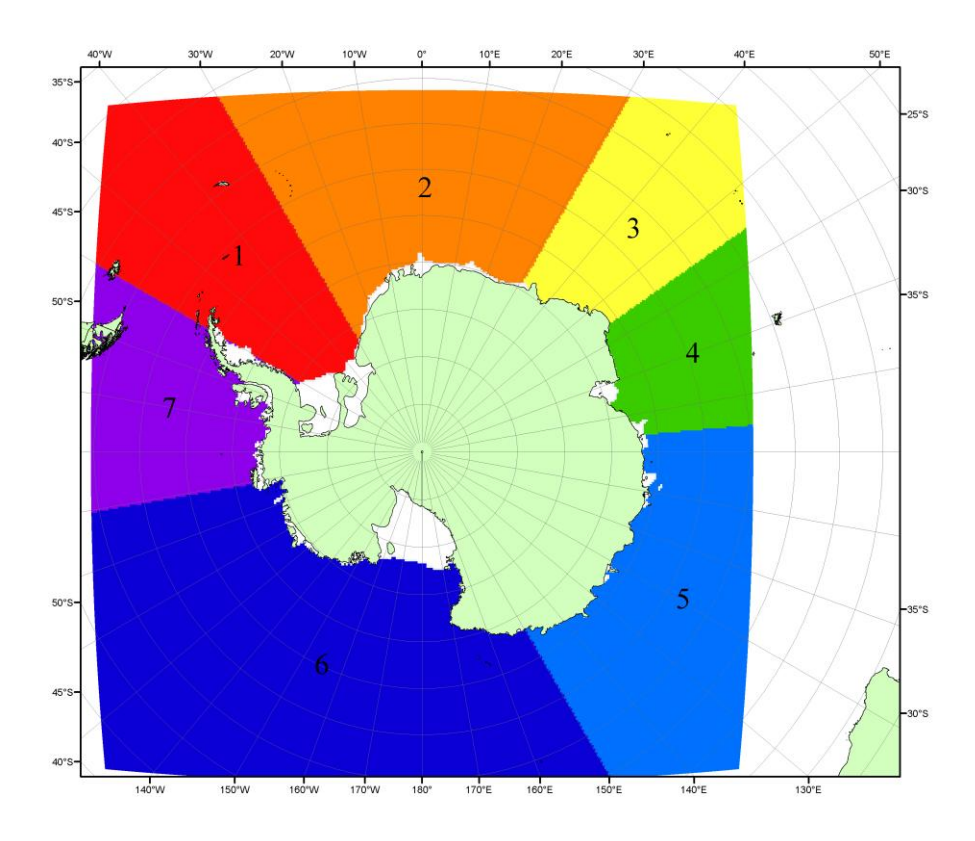


Рисунок Пб — Моря Южного океана. 1 — Западная часть моря Уэдделла; 2- Восточная часть моря Уэдделла; 3 — Море Космонавтов; 4 — море Содружества; 5 — море Моусона; 6 — море Росса; 7 — Море Беллинсгаузена.

Список источников

- 1. Атлас океанов. Северный Ледовитый океан. 1980. М: Изд. ГУНИО МО СССР ВМФ 184 с.
 - 2. Атлас океанов. Термины. Понятия. Справочные таблицы. Изд. ВМФ МО СССР.-1980.
 - 3. Границы океанов и морей. 1960. Л.: Изд. ГУНИО ВМФ. 51 с.
- 4. Обзорные ледовые карты ФГБУ «ААНИИ» Северного Ледовитого океана за 2008 настоящий момент времени в обменном формате ВМО СИГРИД-3 // Мировой центр данных по морскому льду Глобальный банк данных по морскому льду http://wdc.aari.ru/datasets/d0015.
- 5. Комплексные ледовые карты ФГБУ «ААНИИ» Южного океана за 2014 год настоящий момент времени в обменном формате ВМО СИГРИД-3 // Мировой центр данных по морскому льду Глобальный банк данных по морскому льду http://wdc.aari.ru/datasets/d0015.
- 6. Комплексные ледовые карты ФГБУ «ААНИИ» арктических и замерзающих морей России за 1997 2021 гг. в обменном формате ВМО СИГРИД-3 // Мировой центр данных по морскому льду Глобальный банк данных по морскому льду http://wdc.aari.ru/datasets/d0004.
- 7. Карты ФГБУ «ААНИИ» анализа крупных айсбергов Южного океана за 2014-2020 гг. в обменном формате ВМО СИГРИД-3 // Мировой центр данных по морскому льду Глобальный банк данных по морскому льду http://wdc.aari.ru/datasets/d0015.
- 8. Комплексные ледовые карты ФГБУ «Гидрометцентр России» Азовского, Каспийского и Белого морей за 2000-2019 гг. в обменном формате ВМО СИГРИД-3 // Мировой центр данных по морскому льду Глобальный банк данных по морскому льду http://wdc.aari.ru/datasets/d0033.
- 9. Комплексные ледовые карты ФГБУ «НИЦ Планета» Азовского, Каспийского, Берингова, Охотского и Японского морей за 2016 год настоящий момент времени в обменном формате ВМО СИГРИД-3 // Мировой центр данных по морскому льду Глобальный банк данных по морскому льду http://wdc.aari.ru/datasets/d0034.
- 10. Комплексные ледовые карты Северной полярной области и Южного океана Национального ледового центра США за 2003 год настоящий момент времени в обменном формате ВМО СИГРИД-3 // Мировой центр данных по морскому льду Глобальный банк данных по морскому льду http://wdc.aari.ru/datasets/d0032.
- 11. Карты анализа крупных айсбергов Южного океана Национального ледового центра США за 2014 год настоящий момент времени в обменном формате ВМО СИГРИД-3 // Мировой центр данных по морскому льду Глобальный банк данных по морскому льду http://wdc.aari.ru/datasets/d0032.
- 12. Комплексные ледовые карты Канадской Арктики Канадской ледовой службы за 2006 настоящий момент времени в обменном формате ВМО СИГРИД-3 // Мировой центр данных по морскому льду Глобальный банк данных по морскому льду http://wdc.aari.ru/datasets/d0031.
- 13. Cavalieri, D., C. Parkinson, P. Gloersen, and H. J. Zwally. 1996, updated 2008. *Sea Ice Concentrations from Nimbus-7 SMMR and DMSP SSM/I Passive Microwave Data*, [1978.10.26 2007.12.31]. Boulder, Colorado USA: National Snow and Ice Data Center. Digital media.
- 14. Meier, W., F. Fetterer, K. Knowles, M. Savoie, M. J. Brodzik. 2006, updated quarterly. *Sea Ice Concentrations from Nimbus-7 SMMR and DMSP SSM/I Passive Microwave Data*, [2008.01.01 2008.03.25]. Boulder, Colorado USA: National Snow and Ice Data Center. Digital media.
- 15. Maslanik, J., and J. Stroeve. 1999, updated daily. *Near-Real-Time DMSP SSM/I-SSMIS Daily Polar Gridded Sea Ice Concentrations*, [2008.03.26 present moment]. Boulder, Colorado USA: National Snow and Ice Data Center. Digital media.
- 16. Andersen, S., R. Tonboe, L. Kaleschke, G. Heygster, and L. T. Pedersen, Intercomparison of passive microwave sea ice concentration retrievals over the high-concentration Arctic sea ice.// J. Geophys. Res. 2007. Vol. 112. C08004, doi:10.1029/2006JC003543.
- 17. Статистические характеристики сплоченности морского льда Северной полярной области и Южного океана на основе данных наблюдений SSMR-SSM/I-SSMIS, алгоритм NASATEAM // Мировой центр данных по морскому льду Глобальный банк данных по

морскому льду – http://wdc.aari.ru/datasets/ssmi.

- 18. SIGRID-3: A vector archive format for Sea Ice Georeferenced Information and Data JCOMM Technical Report Series No. 23, 2014, WMO/TD-No.1214.
- 19. Ice Chart Colour Code Standard. JCOMM Technical Report Series No. 24, 2004, WMO/TD-No.1215.

(http://jcomm.info/index.php?option=com_oe&task=viewDocumentRecord&docID=4914)

- 20. Danish Meteorological Institute North Atlantic Arctic Ocean model HYCOM-CICE http://ocean.dmi.dk/models/hycom.uk.php
- 21. Портал данных ледового анализа Южного океана Норвежского метеорологического института http://polarview.met.no/Antarctic.html
 - 22. Портал полярных данных Датского метеорологического института http://polarportal.dk
- 23. Комплексные ледовые карты Берингова и чукотского морей Ледовой службы отделения НОАА Аляска в обменном формате ВМО СИГРИД-3 // https://www.weather.gov/.
- 24. AWI CryoSat-SMOS Merged Sea Ice Thickness https://spaces.awi.de/display/CS2SMOS/CryoSat-SMOS+Merged+Sea+Ice+Thickness
- 25. Flanders Marine Institute (2018). IHO Sea Areas, version 3. Available online at URL: http://www.marineregions.org/ (дата обращения 08.04.2023).
- 26. Полярная равноплощадная проекция Ламберта. URL: https://epsg.io/3576 (дата обращения 07.04.2023).
- 27. ESA project SMOS & CryoSat-2 Sea Ice Data Product Processing and Dissemination Service and data from 2010 to 2024, obtained from https://www.meereisportal.de (grant: REKLIM-2013-04)/Ricker, R., Hendricks, S., Kaleschke, L., Tian-Kunze, X., King, J., and Haas, C.:
- 28. A weekly Arctic sea-ice thickness data record from merged CryoSat-2 and SMOS satellite data, The Cryosphere, 11, 1607-1623, https://doi.org/10.5194/tc-11-1607-2017, 2017.
- 29. Kimura, N., M. Oyama, T. Sugimura, 2022, Daily Polar Gridded Sea Ice Age, Version 1, 1.00, Arctic Data archive System (ADS), Japan, https://ads.nipr.ac.jp/dataset/A20220527-001